# Machines électriques

pour Génie Mécanique

#### Machine asynchrone

André Hodder

## Sommaire

- Introduction
- Circuit magnétique
- Transformateur
- Eléments de base des machines
- Machine asynchrone
- Machine à courant continu
- Machine synchrone
- Moteur synchrone à aimants permanents
- Moteur pas à pas

## Sommaire

- Principe de fonctionnement
- Schéma équivalent
- Caractéristique de couple
- Impédance équivalente
- Démarrage des moteurs à cage
- Alimentation à tension et fréquence variables
- Modes de fonctionnement et bilan de puissance

## La machine asynchrone

Selon la définition du Vocabulaire Electrotechnique International (IEV 411-31-09) :

Une machine asynchrone est une machine à courant alternatif dont la vitesse en charge et la fréquence du réseau auquel elle est reliée ne sont pas dans un rapport constant.

Les anglophones l'appellent "induction machine".

Le rotor peut être soit :

bobiné (enroulement triphasé)

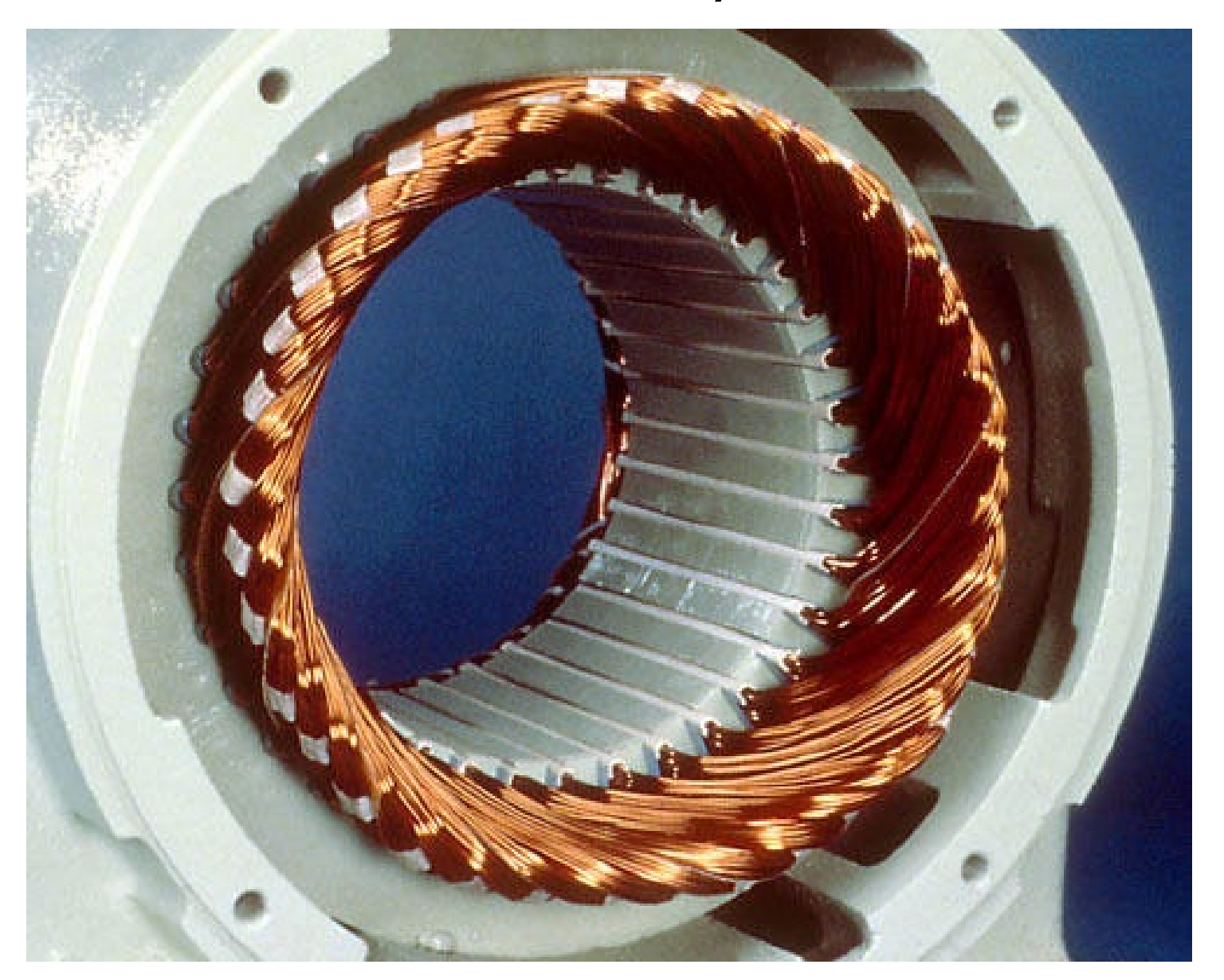


à cage d'écureuil



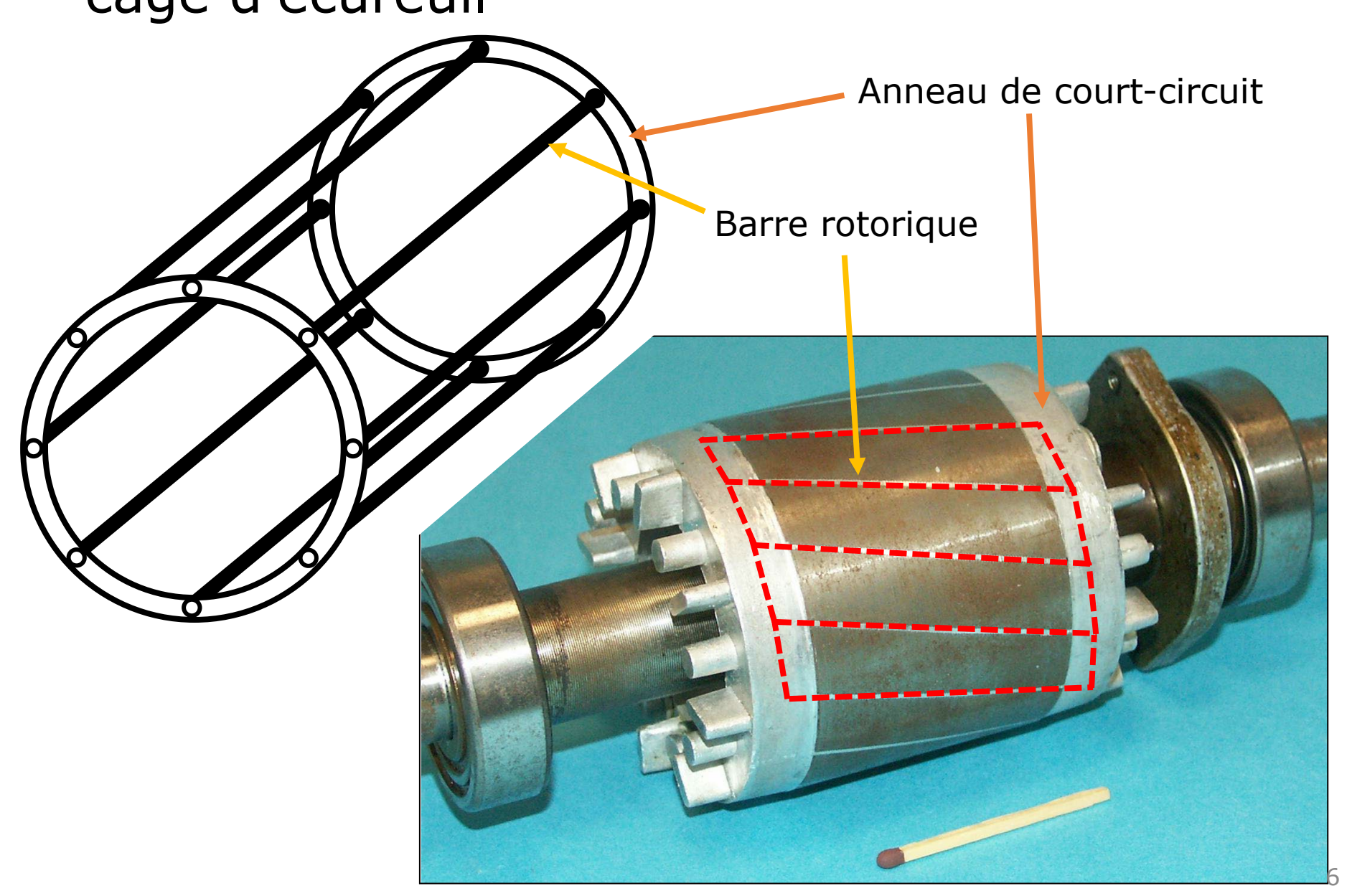
electropedia.org

## Stator d'une machine asynchrone



Source: indiamart.com

Rotor d'une machine asynchrone à cage d'écureuil

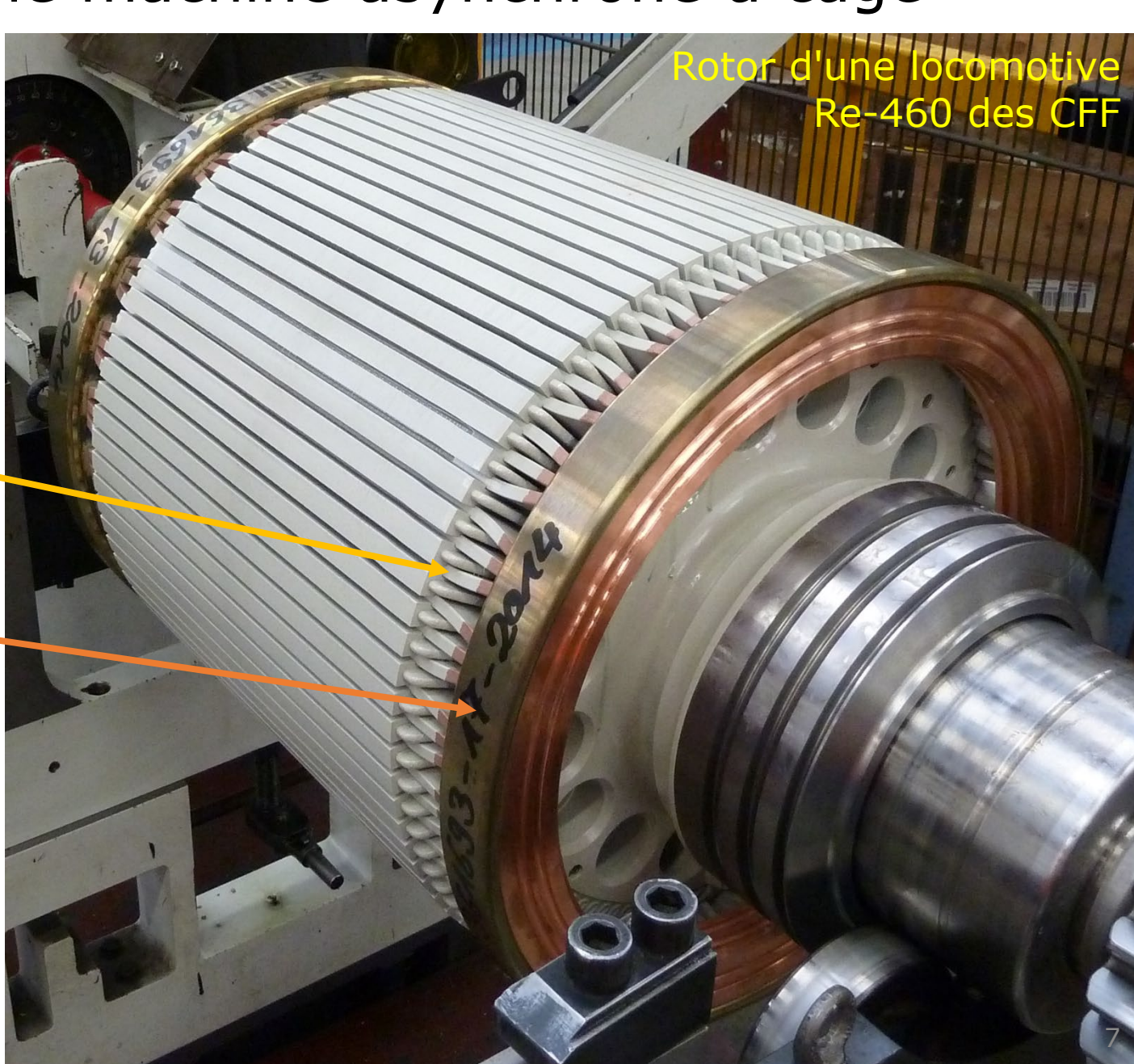


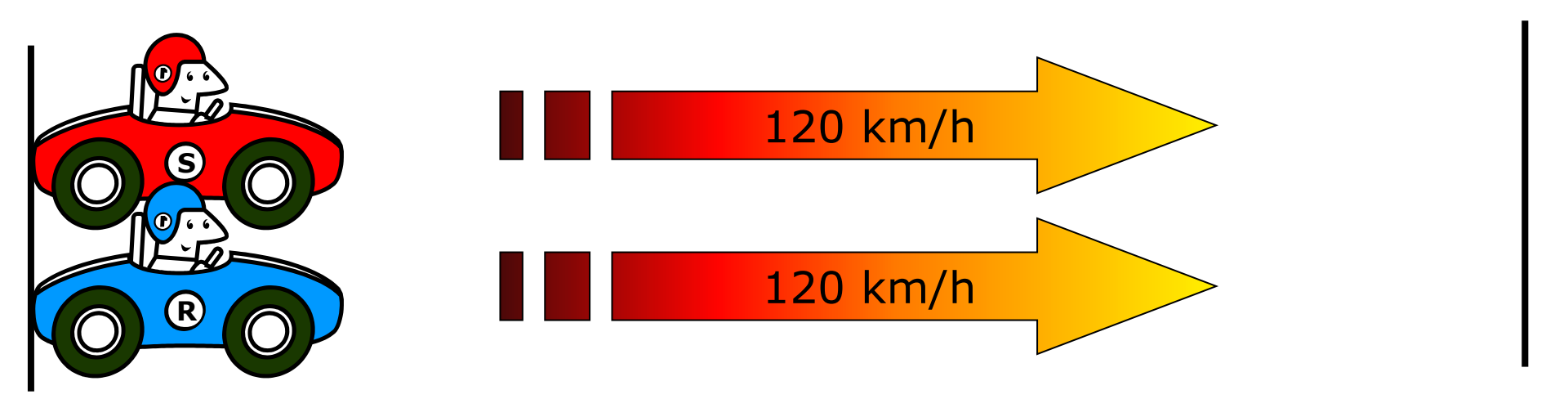
#### Rotor d'une machine asynchrone à cage

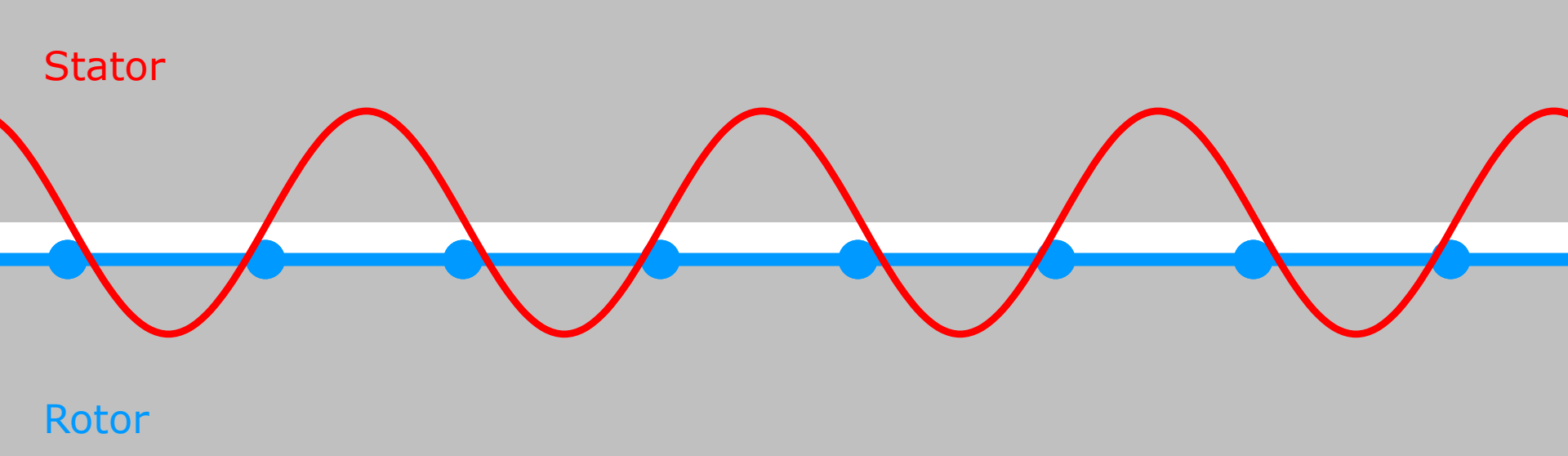


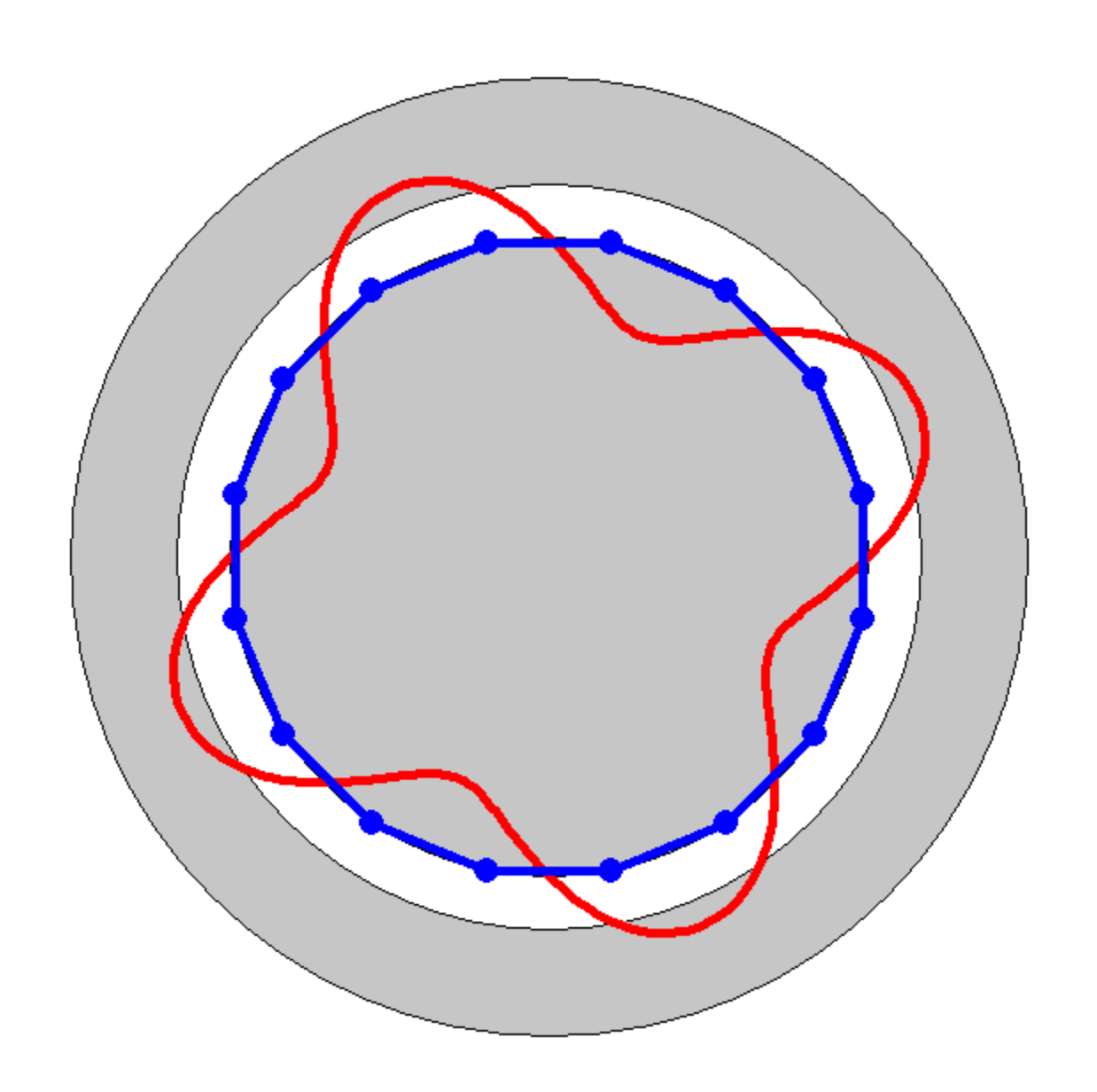
Barre rotorique

Anneau de court-circuit









# Rotor d'une machine asynchrone à cage d'écureuil

 $u_{r} = R_{r}i_{r} + \frac{d\Psi}{dt}$ 

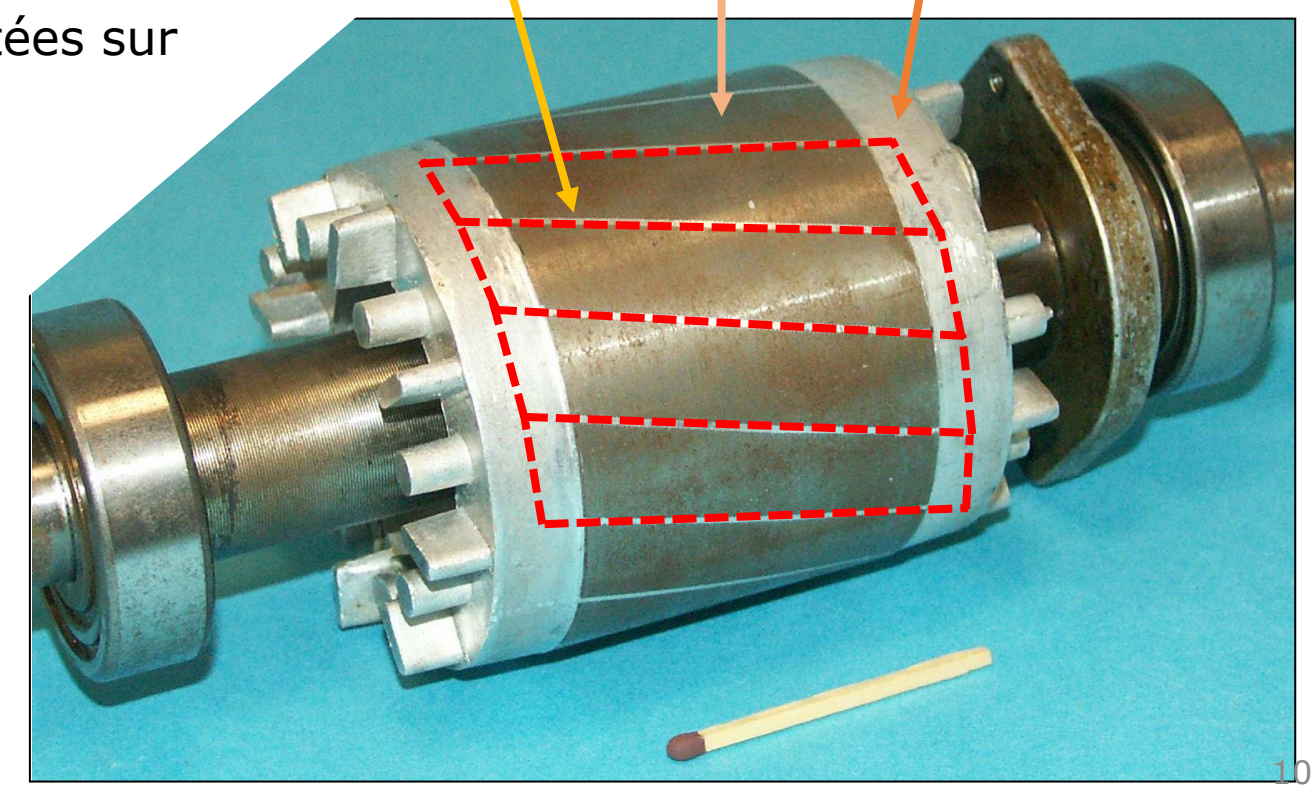
Le rotor est constitué de spires court-circuitées sur elles mêmes

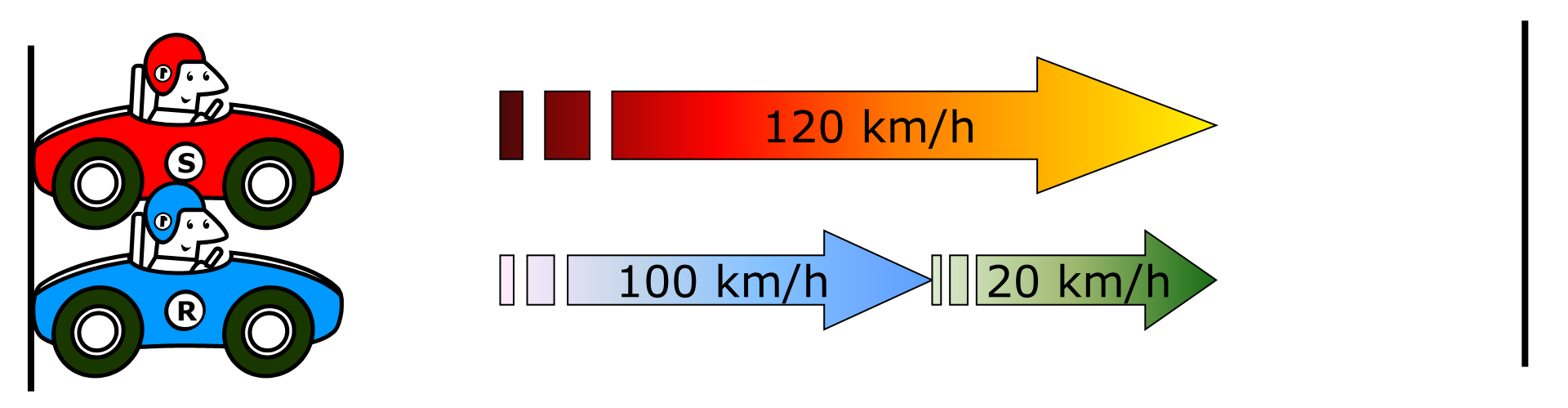
$$0 = R_r i_r + \frac{d\Psi}{dt}$$

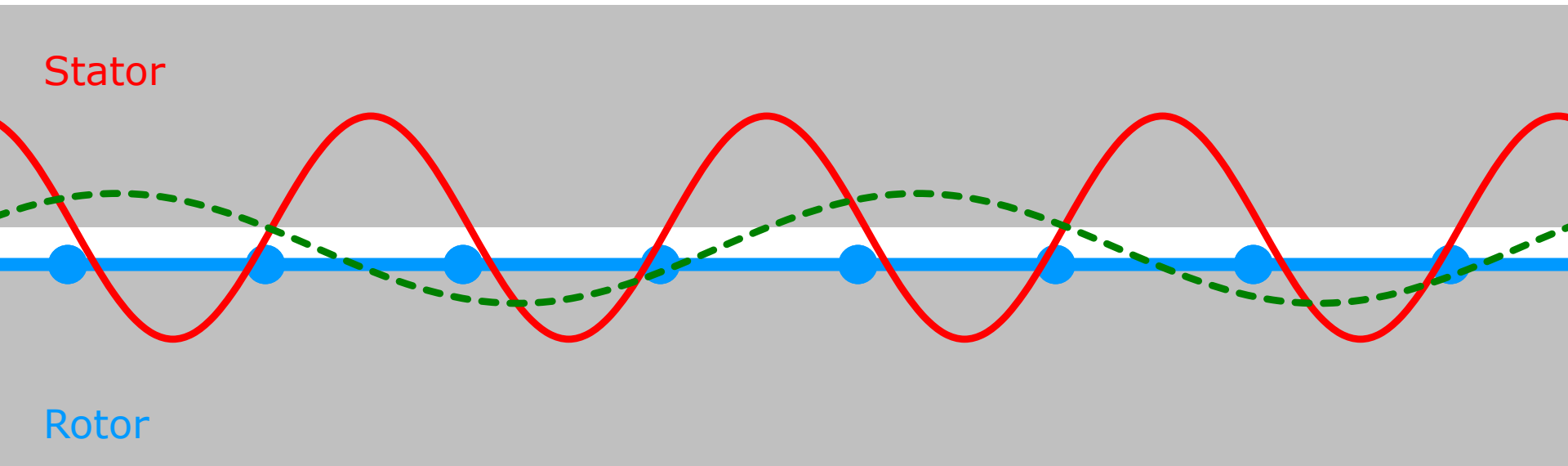
Anneau de court-circuit

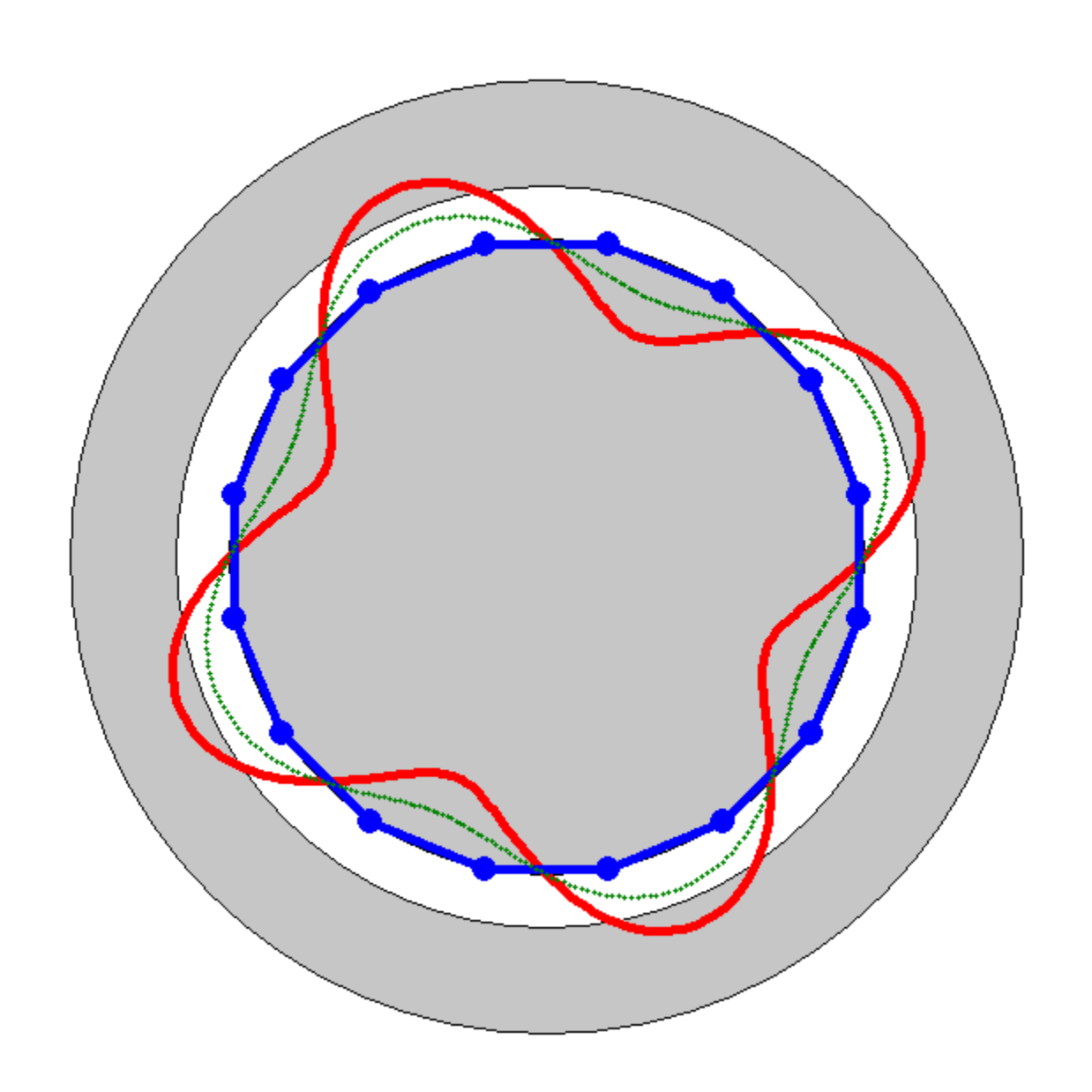
Barre rotorique

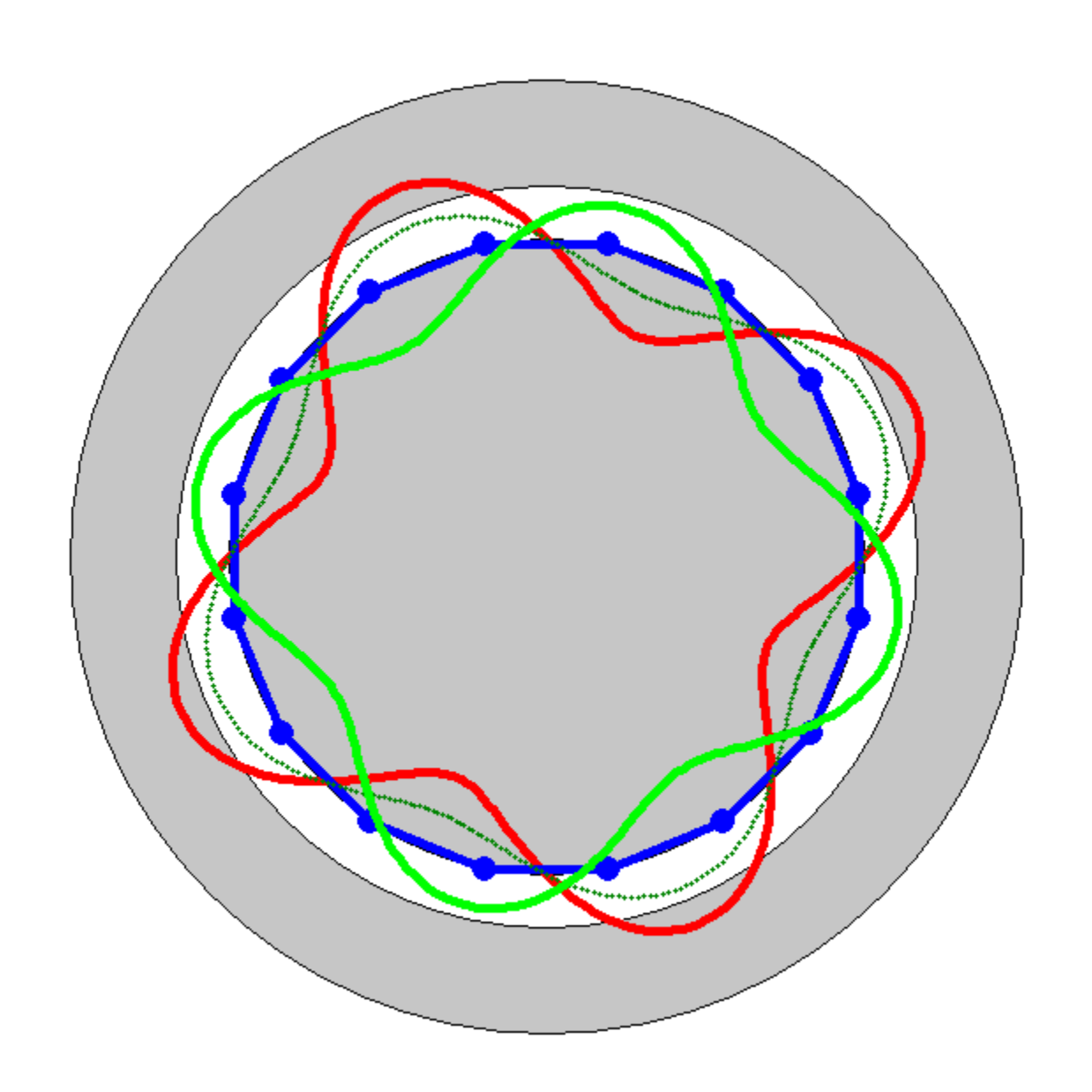
Fer feuilleté











En raisonnant en fréquence électrique

Les deux champs stator et rotor ont la même fréquence et leurs interaction génère le couple.

Plus le glissement est grand, plus le courant induit est grand, et donc plus le champ B est grand et plus le couple est grand. 2 Hz dans le rotor mais le rotor tourne à 48 Hz donc 48 Hz + 2 Hz = 50 Hz

Avec 
$$\Theta = N i$$
  $\Theta = \int H dI$   $B = \mu H \longrightarrow f_B = 50 Hz$ 

Les deux champs stator et rotor ont la même fréquence et leurs interaction génère le couple.

Plus le glissement est grand, plus le courant induit est grand, et donc plus le champ B est grand et plus le couple est grand.

$$T_{em} = k \hat{B}_s \hat{B}_r p \sin \delta$$
nombre de paires de pôles

#### 2 conditions:

- Même nombre de pôles (paires de pôles)
- Même vitesse (les champs sont dit synchrones)

#### Glissement

Par définition le glissement est l'écart de vitesse entre le champ tournant statorique et la vitesse mécanique du rotor, rapporté à la vitesse du champ tournant statorique.

Il est noté s et est sans dimension.

$$\begin{split} s = & \frac{\Omega_s - \Omega_m}{\Omega_s} = \frac{\omega_s - \omega_m}{\omega_s} = \frac{n_s - n_m}{n_s} = \frac{N_s - N_m}{N_s} = \frac{f_s - f_m}{f_s} [-] \\ & \uparrow \qquad \uparrow \qquad \uparrow \qquad \uparrow \qquad \uparrow \qquad \uparrow \\ & \left[ rad \, / \, s \right] \quad \left[ rad \, / \, s \right] \quad \left[ tr \, / \, s \right] \quad \left[ tr \, / \, min \right] \quad \left[ Hz \right] \\ & \text{méca.} \qquad \text{élec.} \qquad \text{méca.} \qquad \text{élec.} \end{split}$$

$$n = \frac{f}{p}$$
nombre de paires de pôles

## Sommaire

- Principe de fonctionnement
- Schéma équivalent
- Caractéristique de couple
- Impédance équivalente
- Démarrage des moteurs à cage
- Alimentation à tension et fréquence variables
- Modes de fonctionnement et bilan de puissance

#### Schéma équivalent du transformateur

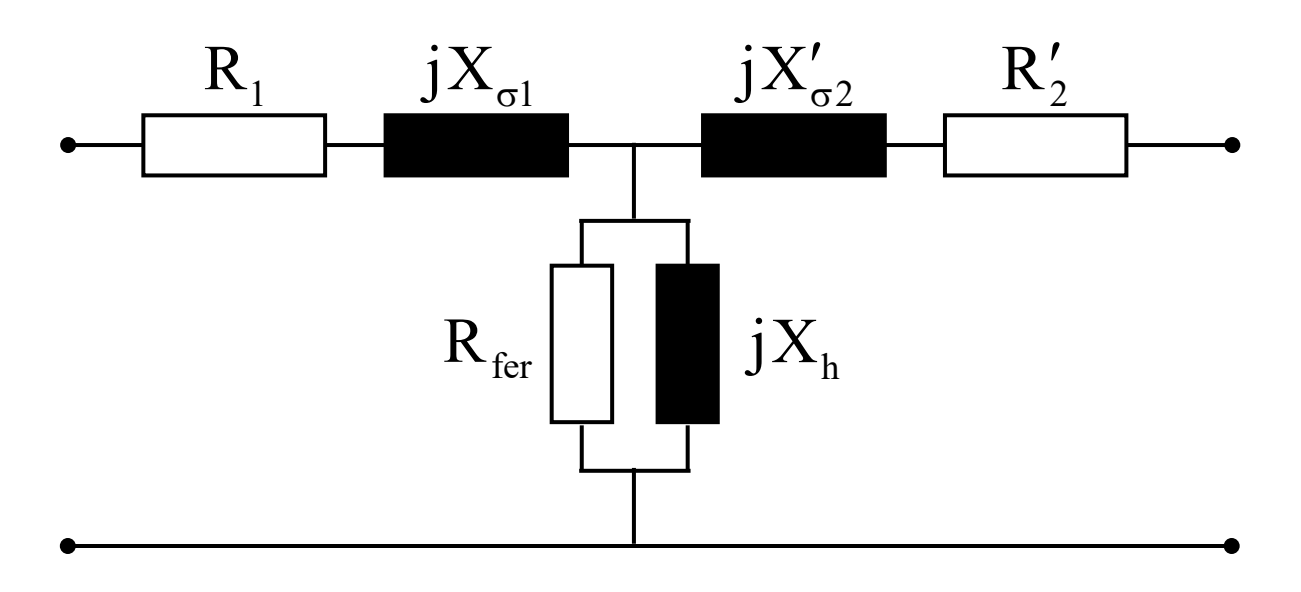
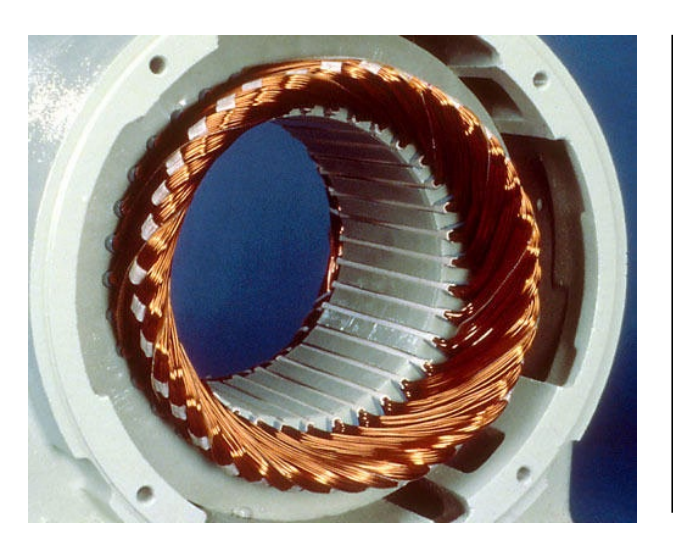
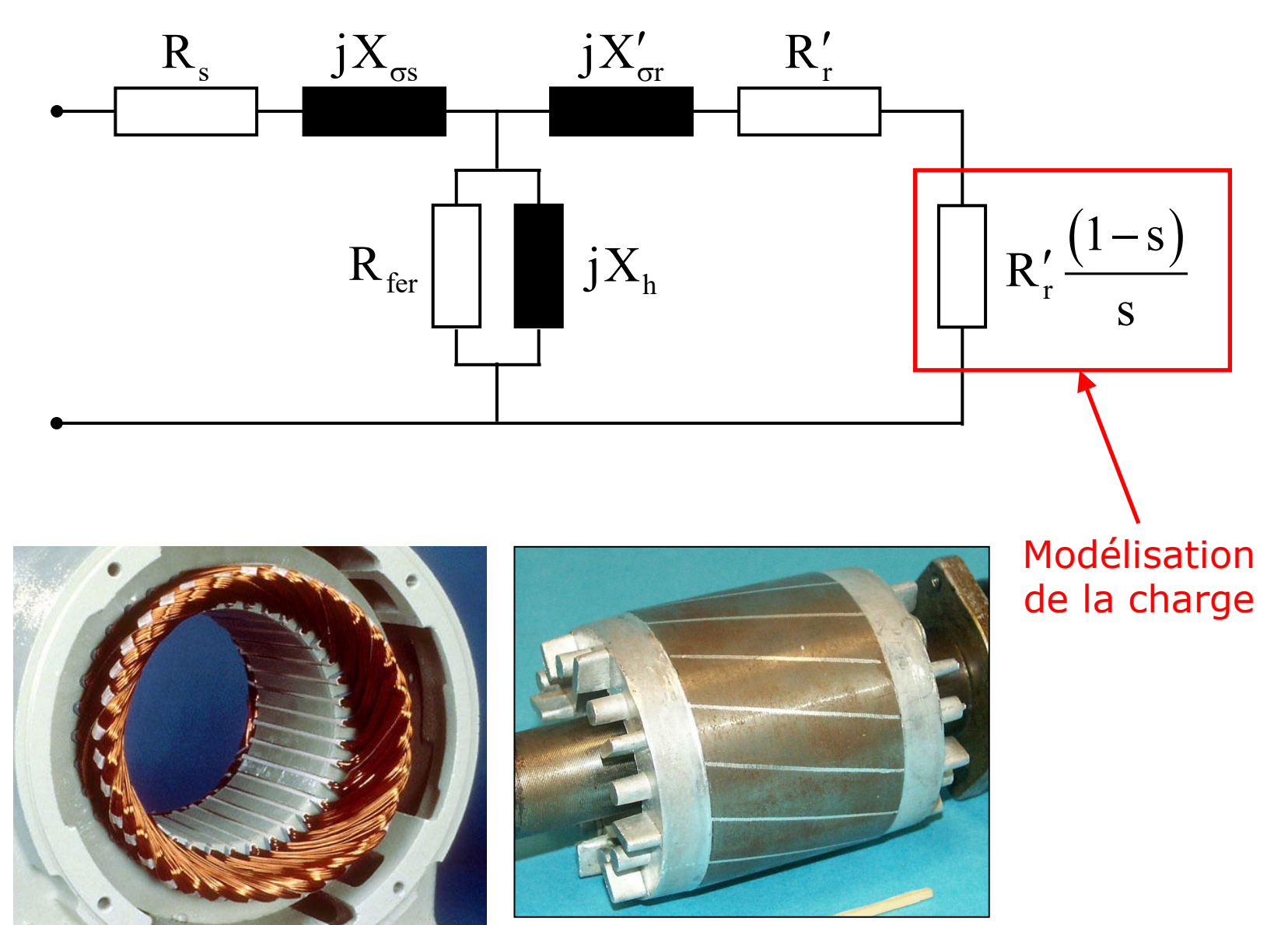
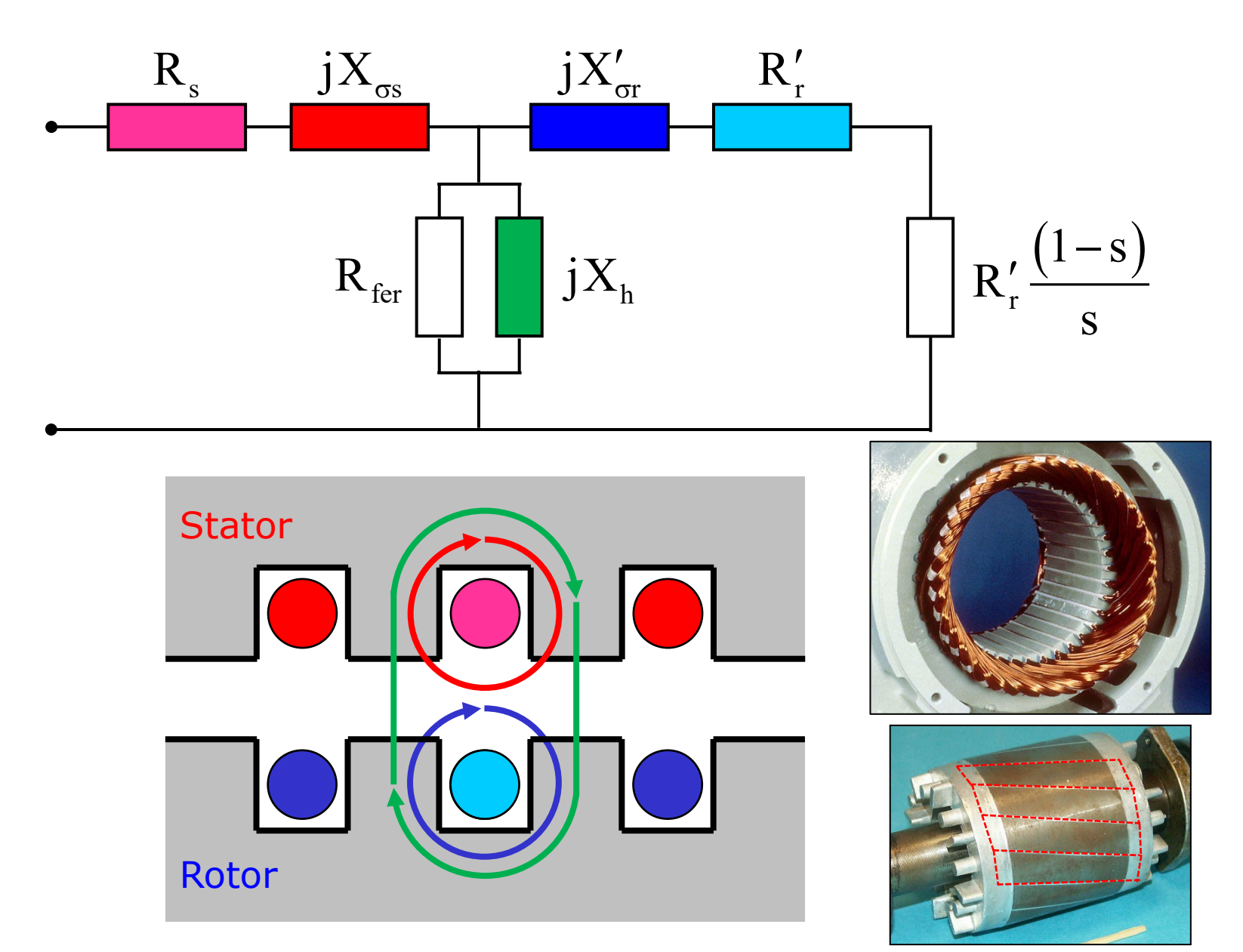


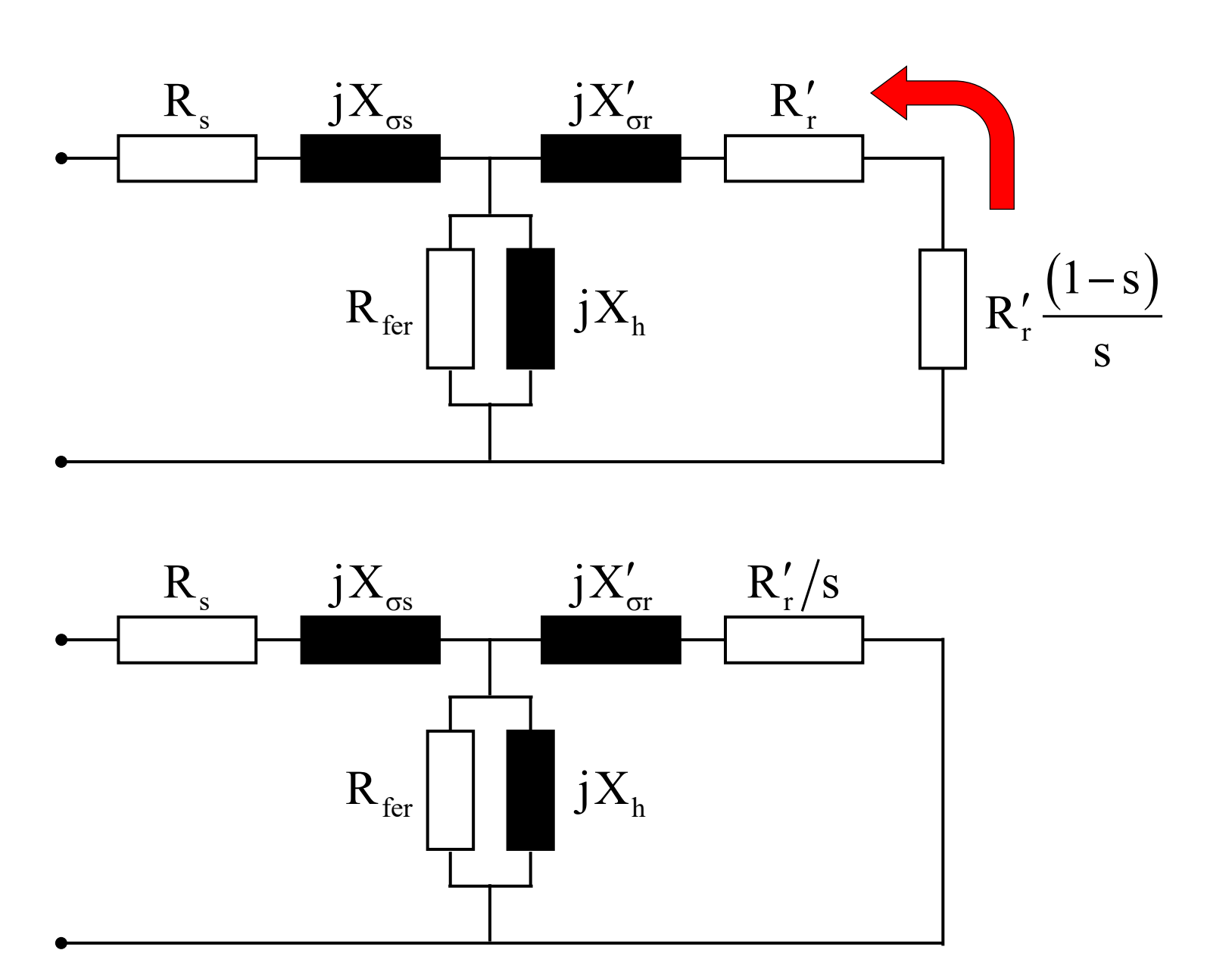
Schéma équivalent d'un transformateur

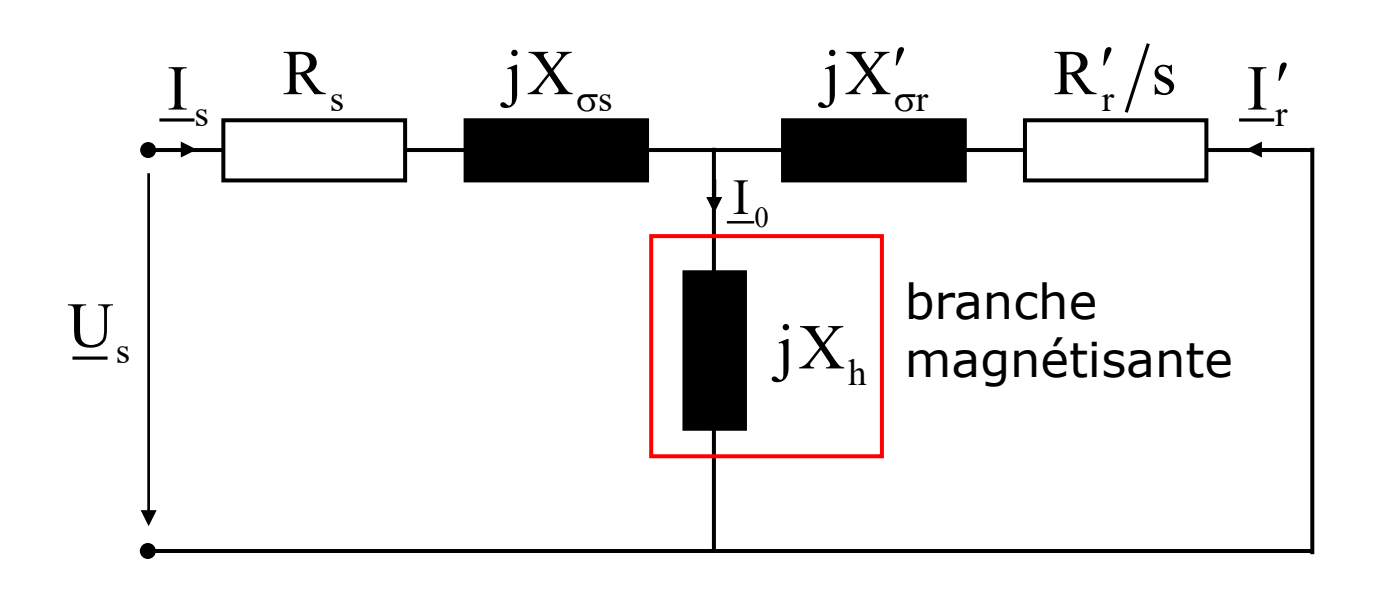






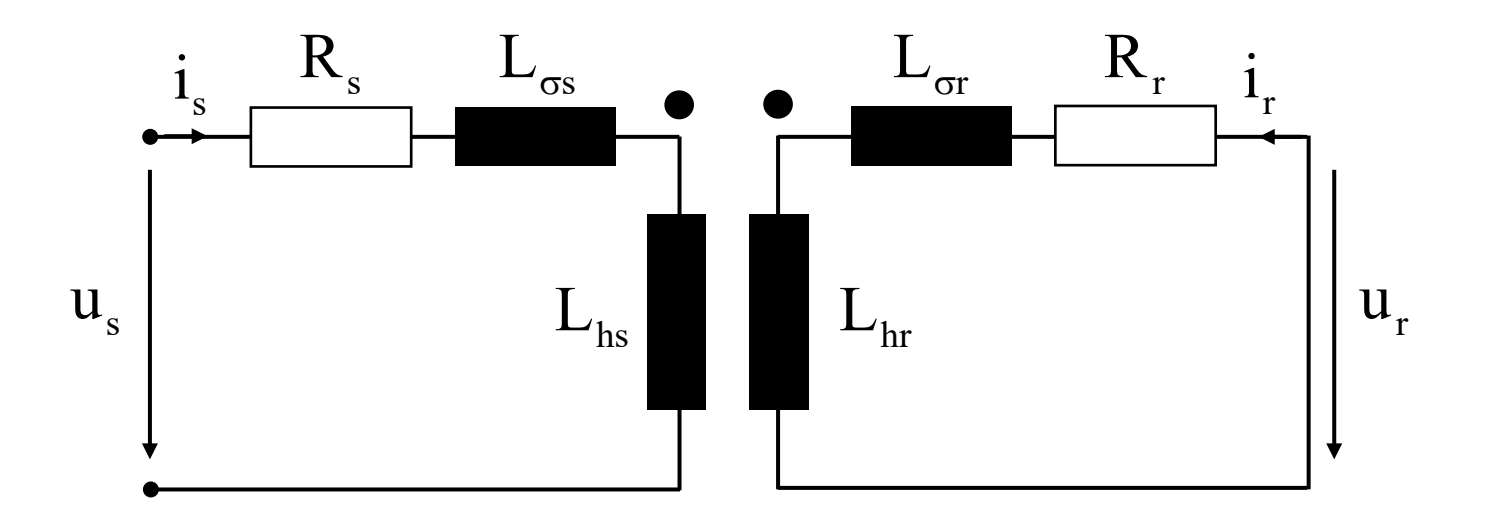






$$\begin{cases} \underline{U}_{s} = R_{s} \underline{I}_{s} + j X_{\sigma s} \underline{I}_{s} + j X_{h} \left( \underline{I}_{s} + \underline{I}'_{r} \right) \\ 0 = \frac{R'_{r}}{S} \underline{I}'_{r} + j X'_{\sigma r} \underline{I}'_{r} + j X_{h} \left( \underline{I}_{s} + \underline{I}'_{r} \right) \end{cases}$$

#### Equations de tension



$$\begin{cases} u_{s} = R_{s} i_{s} + \frac{d\Psi_{s}}{dt} & L_{hs} = N_{s}N_{s}\Lambda_{h} \\ u_{r} = 0 = R_{r} i_{r} + \frac{d\Psi_{r}}{dt} & L_{hr} = N_{r}N_{r}\Lambda_{h} \\ \Psi_{s} = L_{s} i_{s} + L_{sr} i_{r} = (L_{hs} + L_{\sigma s})i_{s} + L_{sr} i_{r} \\ \Psi_{r} = L_{r} i_{r} + L_{rs} i_{s} = (L_{hr} + L_{\sigma r})i_{r} + L_{rs} i_{1} \end{cases}$$

#### Equations de tension

grandeurs rapportées au primaire

$$\ddot{\mathbf{u}} = \frac{\mathbf{N_s} \ \mathbf{k_{ws}}}{\mathbf{N_r} \ \mathbf{k_{wr}}} \longrightarrow \frac{\mathbf{L_{hs}} = \ddot{\mathbf{u}} \ \mathbf{L_{sr}}}{\mathbf{L'_{hr}} = \mathbf{L_{hs}}}$$

$$\begin{cases} \underline{U}_{s} = R_{s} \underline{I}_{s} + j \omega_{s} L_{\sigma s} \underline{I}_{s} + j \omega_{s} L_{h s} \underline{I}_{s} + j \omega_{s} L_{h s} \underline{I}'_{r} \\ 0 = R'_{r} \underline{I}'_{r} + j \omega_{r} L'_{\sigma r} \underline{I}'_{r} + j \omega_{r} L'_{h r} \underline{I}'_{r} + j \omega_{r} L_{h s} \underline{I}_{s} \end{cases}$$

$$X_{\sigma s} = \omega_{s} L_{\sigma s}$$

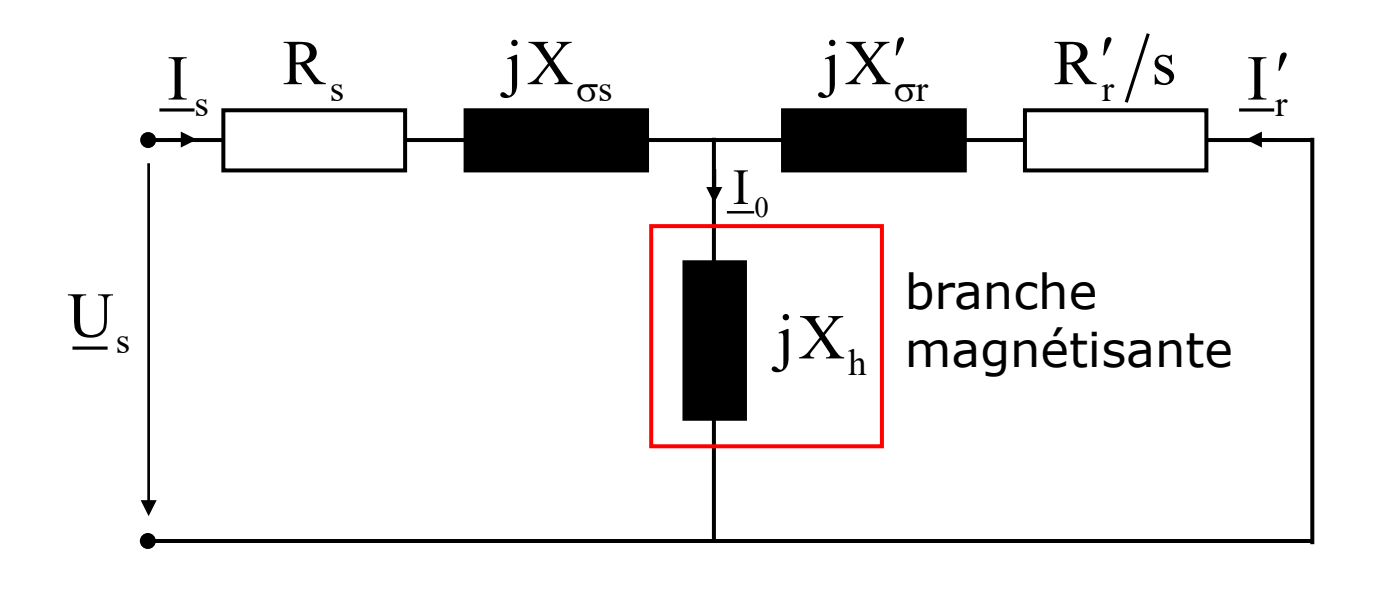
$$W_{r} = s \omega_{s} L_{hs}$$

$$X'_{\sigma r} = \omega_{s} L'_{\sigma r}$$

$$X'_{\sigma r} = \omega_{s} L'_{\sigma r}$$

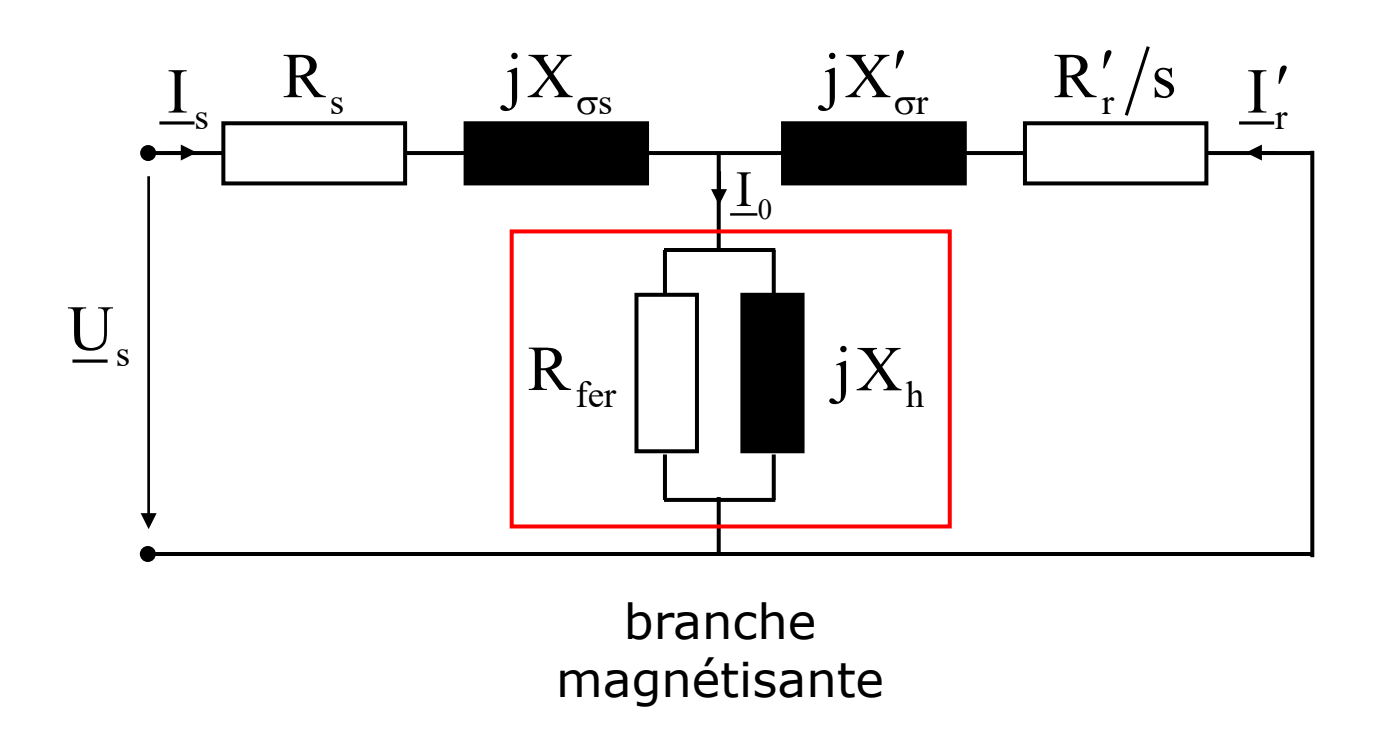
$$\begin{cases} \underline{U}_{s} = R_{s} \underline{I}_{s} + j X_{\sigma s} \underline{I}_{s} + j X_{h} \left(\underline{I}_{s} + \underline{I}'_{r}\right) \\ 0 = \frac{R'_{r}}{s} \underline{I}'_{r} + j X'_{\sigma r} \underline{I}'_{r} + j X_{h} \left(\underline{I}_{s} + \underline{I}'_{r}\right) \end{cases}$$

#### Schéma équivalent

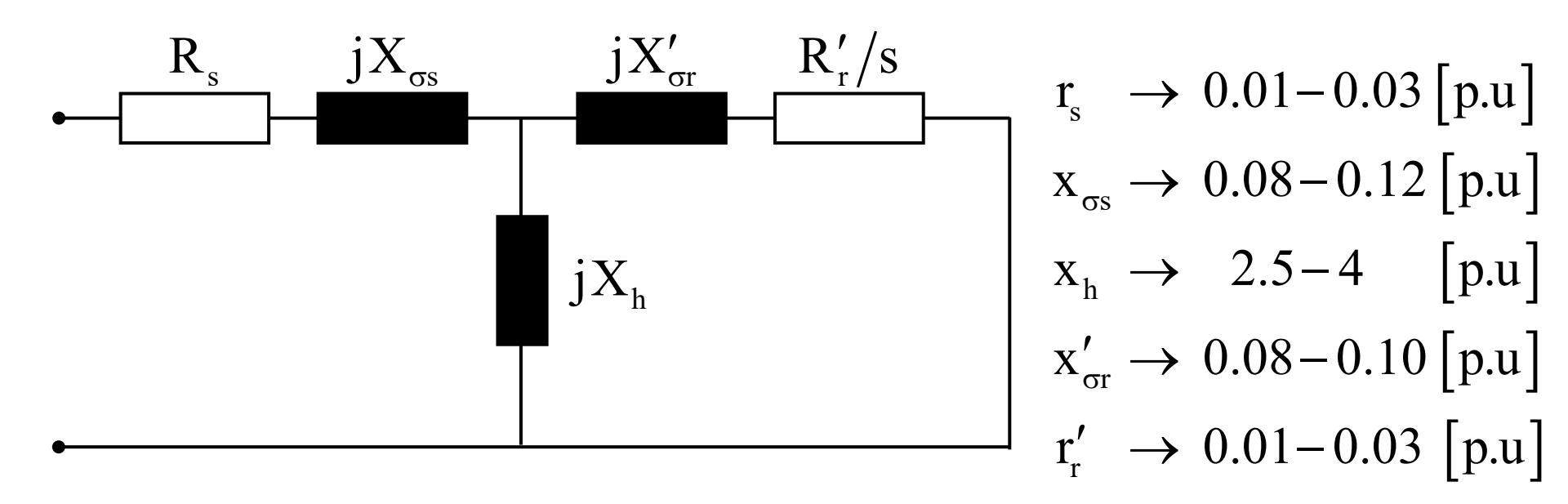


$$\begin{cases} \underline{U}_{s} = R_{s} \underline{I}_{s} + j X_{\sigma s} \underline{I}_{s} + j X_{h} \left( \underline{I}_{s} + \underline{I}'_{r} \right) \\ 0 = \frac{R'_{r}}{s} \underline{I}'_{r} + j X'_{\sigma r} \underline{I}'_{r} + j X_{h} \left( \underline{I}_{s} + \underline{I}'_{r} \right) \end{cases}$$

## Schéma équivalent

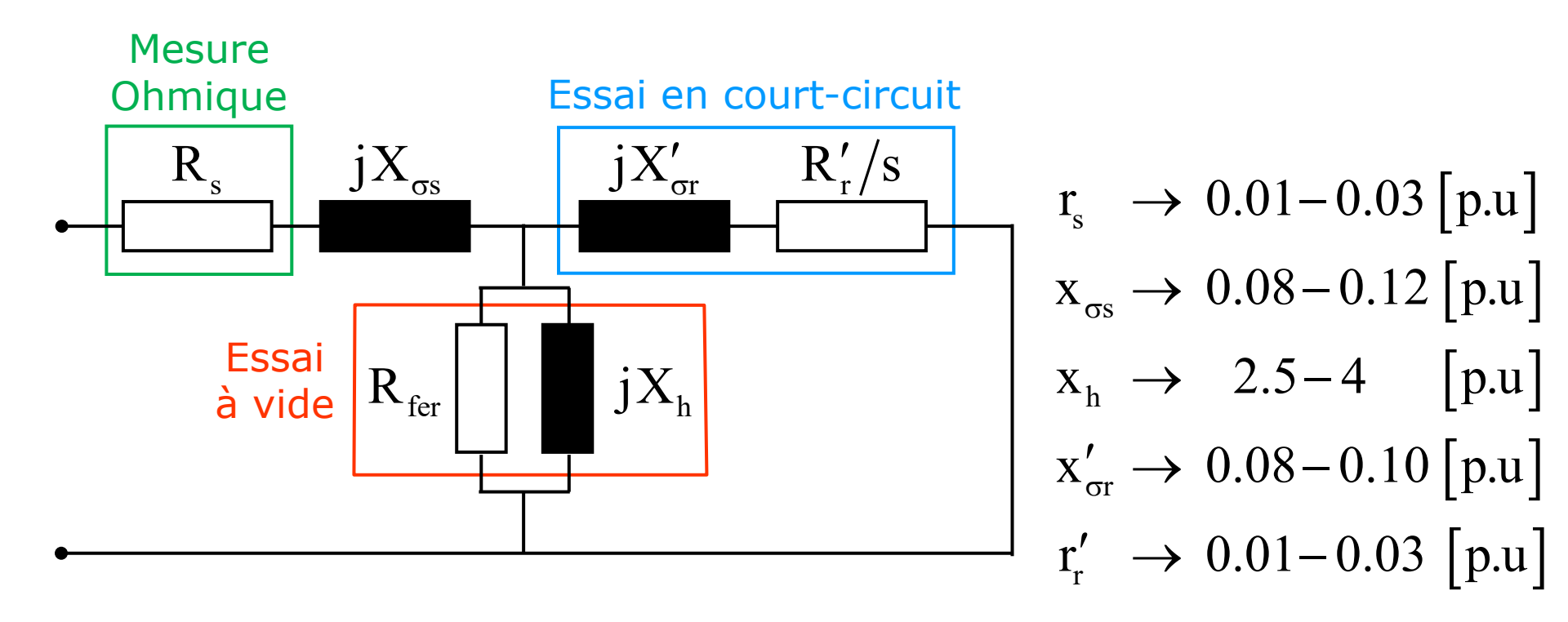


#### Paramètres du schéma équivalent



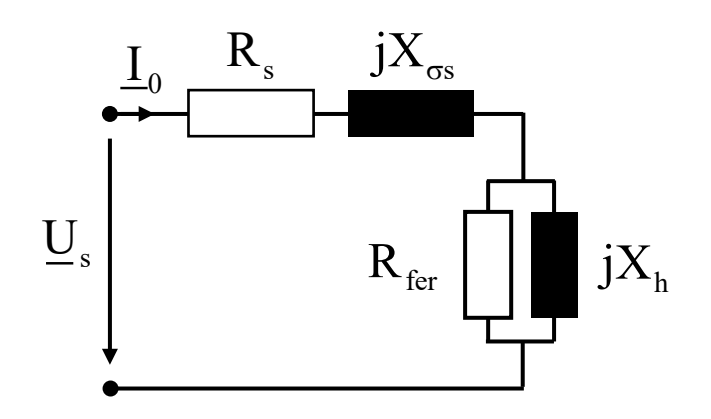
#### Paramètres du schéma équivalent

Les paramètres se déterminent par différents essais



#### Détermination des paramètres

#### Essai à vide



- $P_0$  = la puissance active totale
- $U_s$  = la tension stator de phase
- $I_0$  = le courant stator de phase

$$\underline{Z}_{0} = R_{s} + jX_{\sigma s} + \frac{jR_{fer}X_{h}}{R_{fer} + jX_{h}} = R_{0} + jX_{0}$$

$$\frac{1}{\underline{Z}_{0} - (R_{s} + jX_{\sigma s})} = \frac{1}{R_{fer}} + \frac{1}{jX_{h}}$$

$$\begin{cases} R_{fer} = \frac{\left(R_{0} - R_{s}\right)^{2} + \left(X_{0} - X_{\sigma s}\right)^{2}}{\left(R_{0} - R_{s}\right)} \\ X_{h} = \frac{\left(R_{0} - R_{s}\right)^{2} + \left(X_{0} - X_{\sigma s}\right)^{2}}{\left(X_{0} - X_{\sigma s}\right)} \end{cases}$$

$$\left|\underline{Z}_0\right| = \frac{U_s}{I_0}$$

$$\cos \varphi = \frac{P_0 - P_{fv}}{3 U_s I_0}$$

$$\sin \varphi = \sin \left( \cos^{-1} \left( \cos \varphi \right) \right)$$

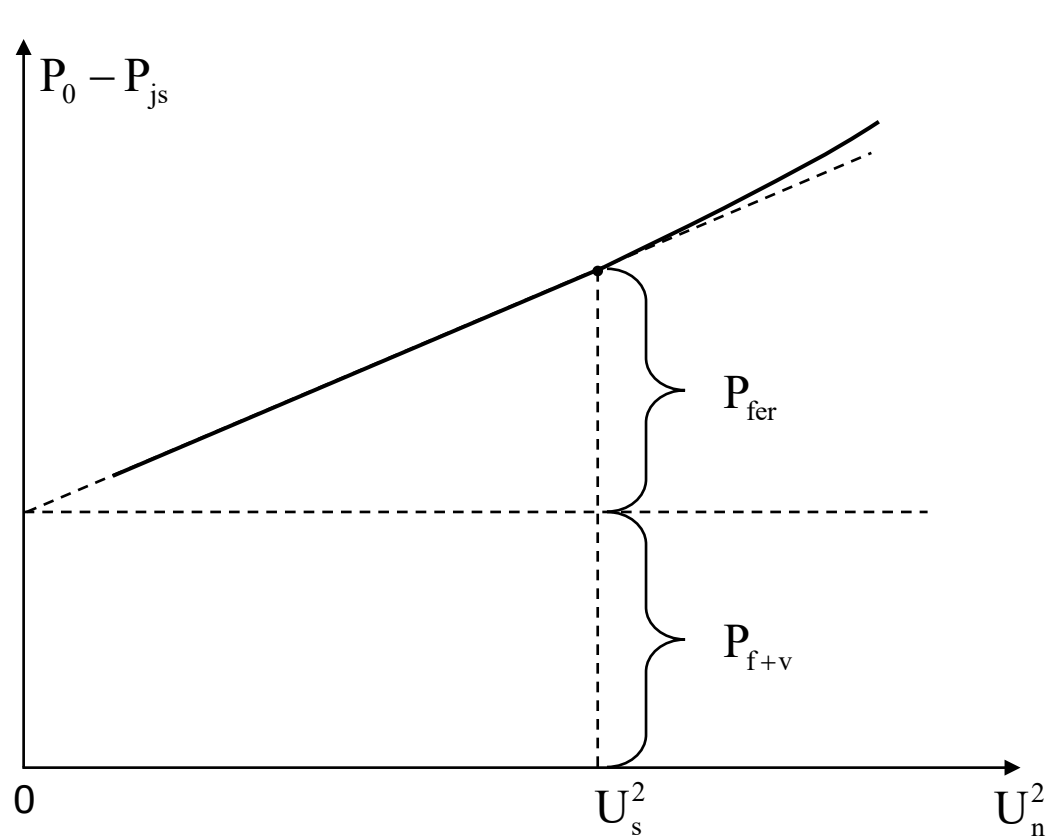
$$\begin{cases} R_0 = |\underline{Z}_0| \cos \varphi \\ X_0 = |\underline{Z}_0| \sin \varphi \end{cases}$$

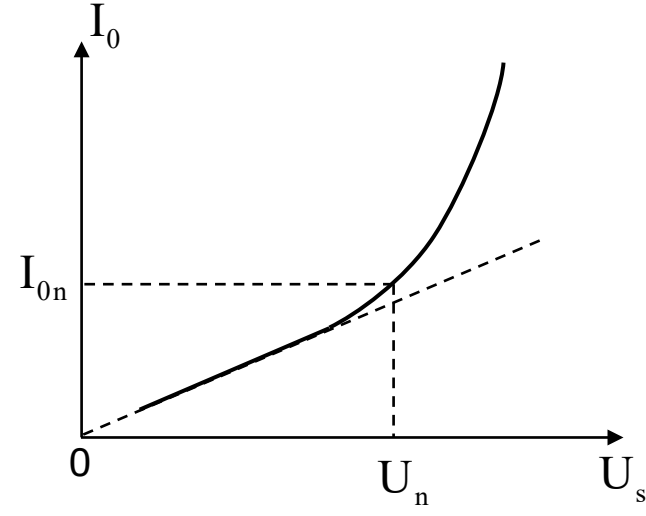
#### Détermination des paramètres

#### Essai à vide

$$P_0 = P_{js} + P_{fer} + P_{fv}$$

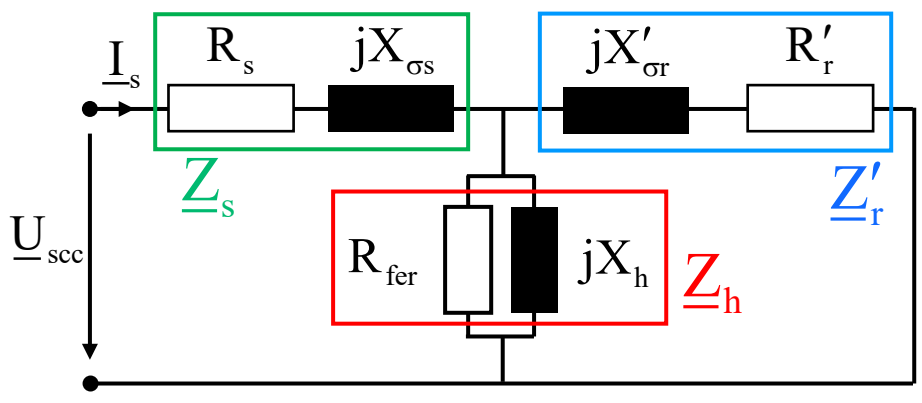
$$P_{is} = 3 R_s I_0^2$$





#### Détermination des paramètres

Essai en court-circuit (à rotor bloqué)



- P<sub>cc</sub> = la puissance active totale
   U<sub>scc</sub> = la tension stator de phase
   I<sub>s</sub> = le courant stator de phase

$$\underline{Z}_{cc} = \underline{Z}_{s} + \frac{\underline{Z}_{h}\underline{Z}'_{r}}{\underline{Z}_{h} + \underline{Z}'_{r}} = R_{cc} + jX_{cc}$$

$$R'_{r} = Re \left\{ \frac{1}{\frac{1}{(\underline{Z}_{cc} - \underline{Z}_{s})} - \frac{1}{\underline{Z}_{h}}} \right\}$$

$$X'_{\text{or}} = \text{Im} \left\{ \frac{1}{\frac{1}{(\underline{Z}_{cc} - \underline{Z}_{s})} - \frac{1}{\underline{Z}_{h}}} \right\}$$

$$\underline{Z}_{cc} = \underline{Z}_{s} + \frac{\underline{Z}_{h}\underline{Z}'_{r}}{\underline{Z}_{h} + \underline{Z}'_{r}} = R_{cc} + jX_{cc}$$

$$\begin{cases} \underline{Z}_{s} = R_{s} + jX_{\sigma s} \\ \\ \underline{Z}_{h} = \frac{jR_{fer}X_{h}}{R_{fer} + jX_{h}} \end{cases}$$

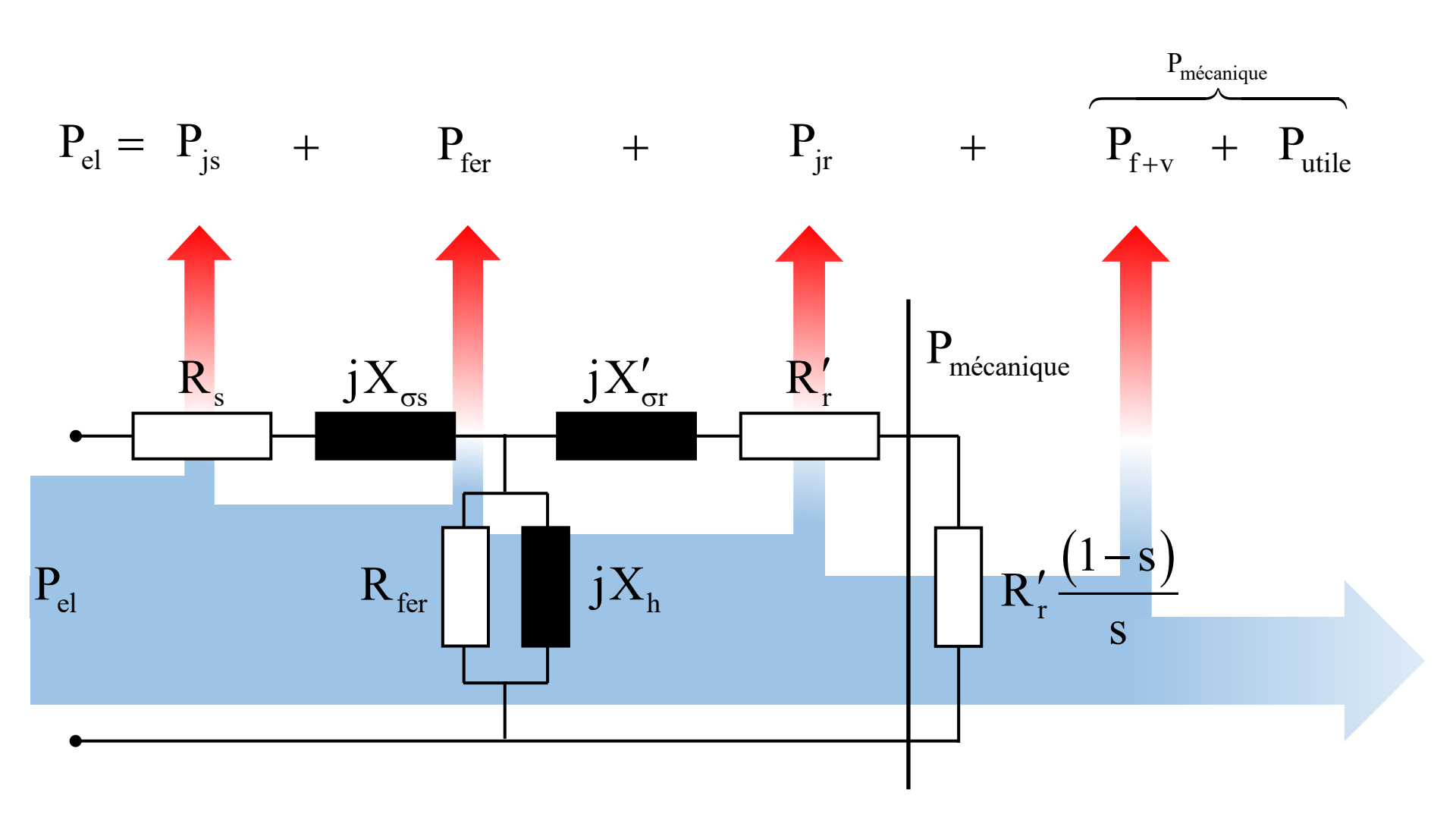
$$\underline{Z}'_{r} = R'_{r} + jX'_{\sigma r}$$

$$\begin{aligned} |\underline{Z}_{cc}| &= \frac{U_{scc}}{I_{s}} \\ \cos \varphi &= \frac{P_{cc}}{3 U_{scc} I_{s}} \\ \sin \varphi &= \sin \left( \cos^{-1} \left( \cos \varphi \right) \right) \\ R_{cc} &= |\underline{Z}_{cc}| \cos \varphi \\ X_{cc} &= |\underline{Z}_{cc}| \sin \varphi \end{aligned}$$

## Sommaire

- Principe de fonctionnement
- Schéma équivalent
- Caractéristique de couple
- Impédance équivalente
- Démarrage des moteurs à cage
- Alimentation à tension et fréquence variables
- Modes de fonctionnement et bilan de puissance

#### Bilan de puissance - Moteur



#### Puissance d'entrefer

$$P_{\delta} = P_{el} - P_{js} - P_{fer} = P_{mec} + P_{jr} = 3\frac{R'_{r}}{s}I'^{2}_{r}$$

$$P_{jr} = sP_{\delta}$$

$$P_{mec} = (1-s)P_{\delta} = P_{jr}\frac{(1-s)}{s}$$

$$P_{\delta}$$

#### Bilan de puissance - Moteur

$$P_{el} = P_{js} + P_{fer} + P_{jr} + P_{tr} + P_{utile}$$

$$P_{el} = P_{js} + P_{fer} + P_{\delta} \mid P_{\delta} = P_{jr} + P_{tr} + P_{utile}$$

$$P_{hecanique} = P_{hecanique} + P_{hecanique} + P_{hecanique} = P_{hecanique} + P_{hecanique} + P_{hecanique} = P_{hecan$$

#### Couple électromagnétique

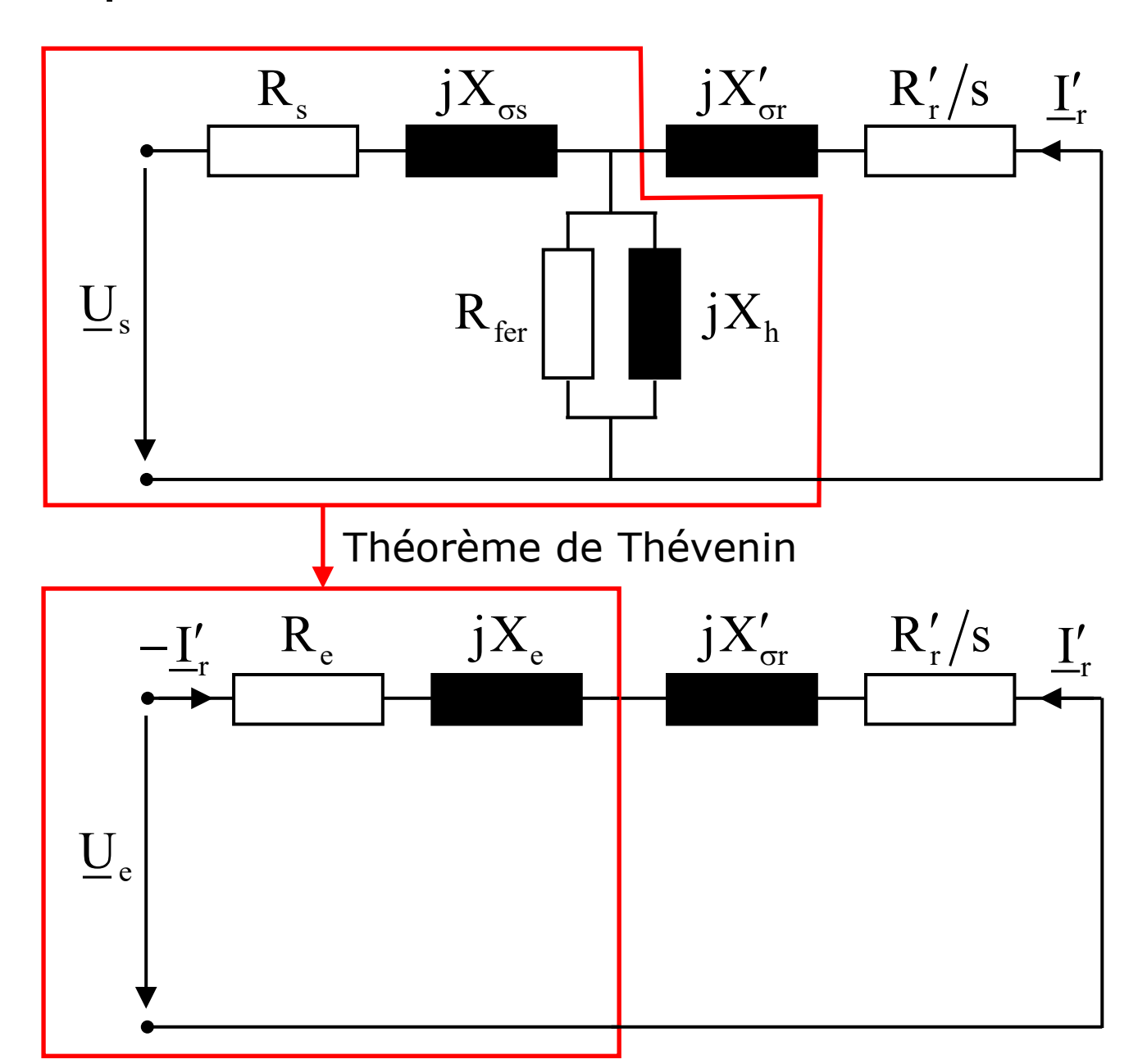
$$P_{\text{mec}} = \Omega_{\text{m}} T_{\text{em}} = 3R'_{\text{r}} \frac{(1-s)}{s} I'^{2}_{\text{r}}$$

$$T_{\text{em}} = \frac{1}{\Omega_{\text{m}}} 3R'_{\text{r}} \frac{(1-s)}{s} I'^{2}_{\text{r}} \xrightarrow{\Omega_{\text{m}} = \Omega_{\text{s}} (1-s)} T_{\text{em}} = 3\frac{1}{\Omega_{\text{s}}} \frac{R'_{\text{r}}}{s} I'^{2}_{\text{r}}$$

$$R_{\text{s}} jX_{\sigma s} jX'_{\sigma r} R'_{\text{r}} \xrightarrow{P_{\text{mécanique}}} I'_{\text{r}}???$$

$$R_{\text{fer}} jX_{\text{h}} jX_{\text{h}} \xrightarrow{I'_{\text{r}}} R'_{\text{r}} \frac{(1-s)}{s}$$

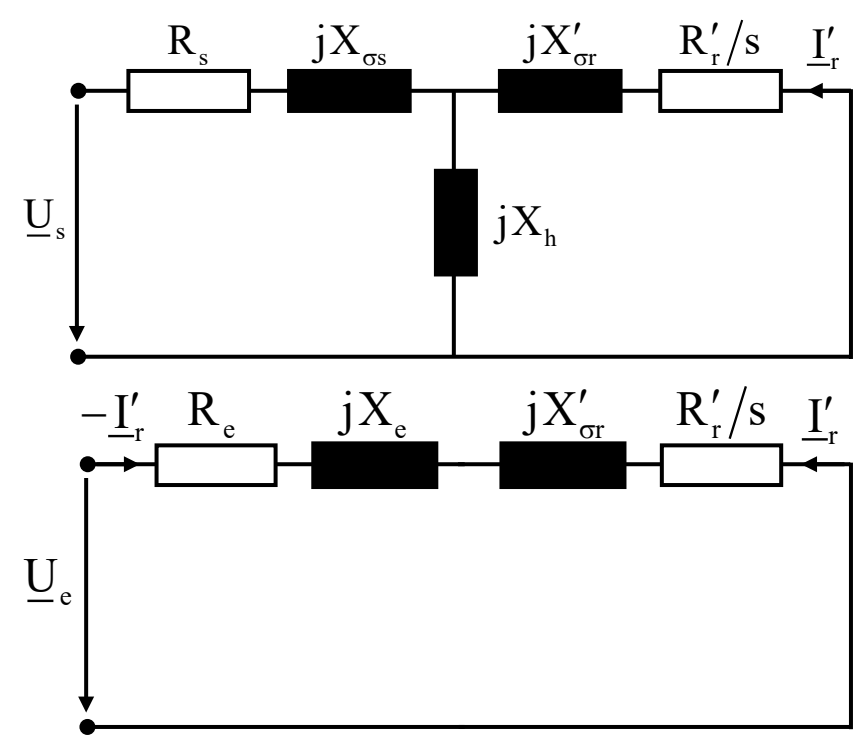
### Equivalent de Thévenin



### Equivalent de Thévenin

$$\underline{\mathbf{U}}_{e} = \underline{\mathbf{U}}_{s} \frac{\mathbf{j} \mathbf{X}_{h}}{\mathbf{R}_{s} + \mathbf{j} \left( \mathbf{X}_{\sigma s} + \mathbf{X}_{h} \right)}$$

$$\underline{Z}_{e} = j X_{h} \frac{R_{s} + j X_{\sigma s}}{R_{s} + j (X_{\sigma s} + X_{h})}$$
$$= R_{e} + j X_{e}$$



$$-\underline{\underline{I}'_{r}} = \frac{\underline{\underline{U}_{e}}}{\underline{Z}_{e} + \frac{\underline{R}'_{r}}{s} + jX'_{\sigma r}} = \frac{\underline{\underline{U}_{e}}}{\left(R_{e} + \frac{R'_{r}}{s}\right) + j\left(X_{e} + X'_{\sigma r}\right)}$$

$$T_{em} = 3 \frac{1}{\Omega_s} \frac{R_r'}{s} I_r'^2$$

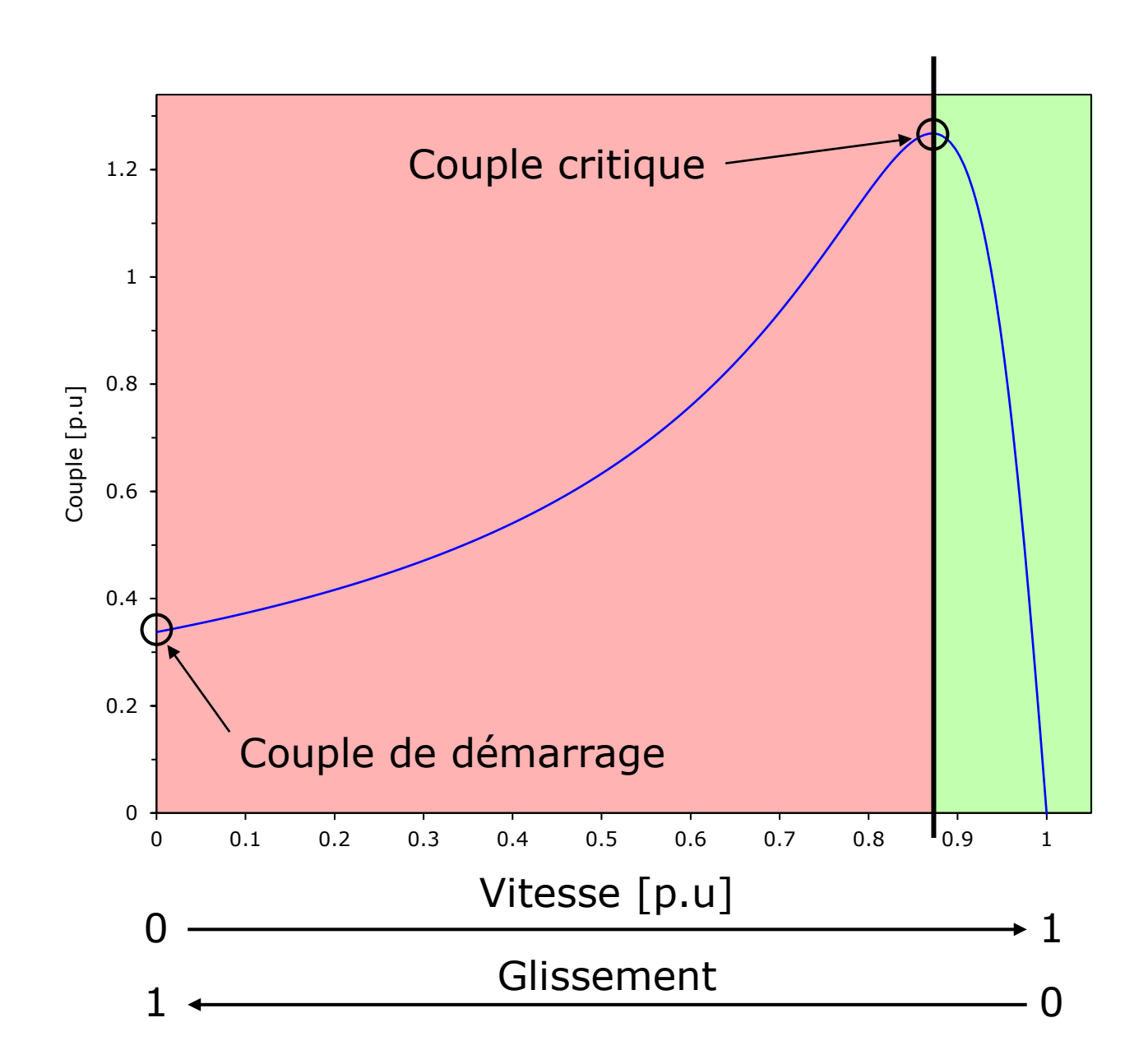
### Couple électromagnétique

$$\underline{\mathbf{U}}_{e} = \underline{\mathbf{U}}_{s} \frac{\mathbf{j} \mathbf{X}_{h}}{\mathbf{R}_{s} + \mathbf{j} \left( \mathbf{X}_{\sigma s} + \mathbf{X}_{h} \right)}$$

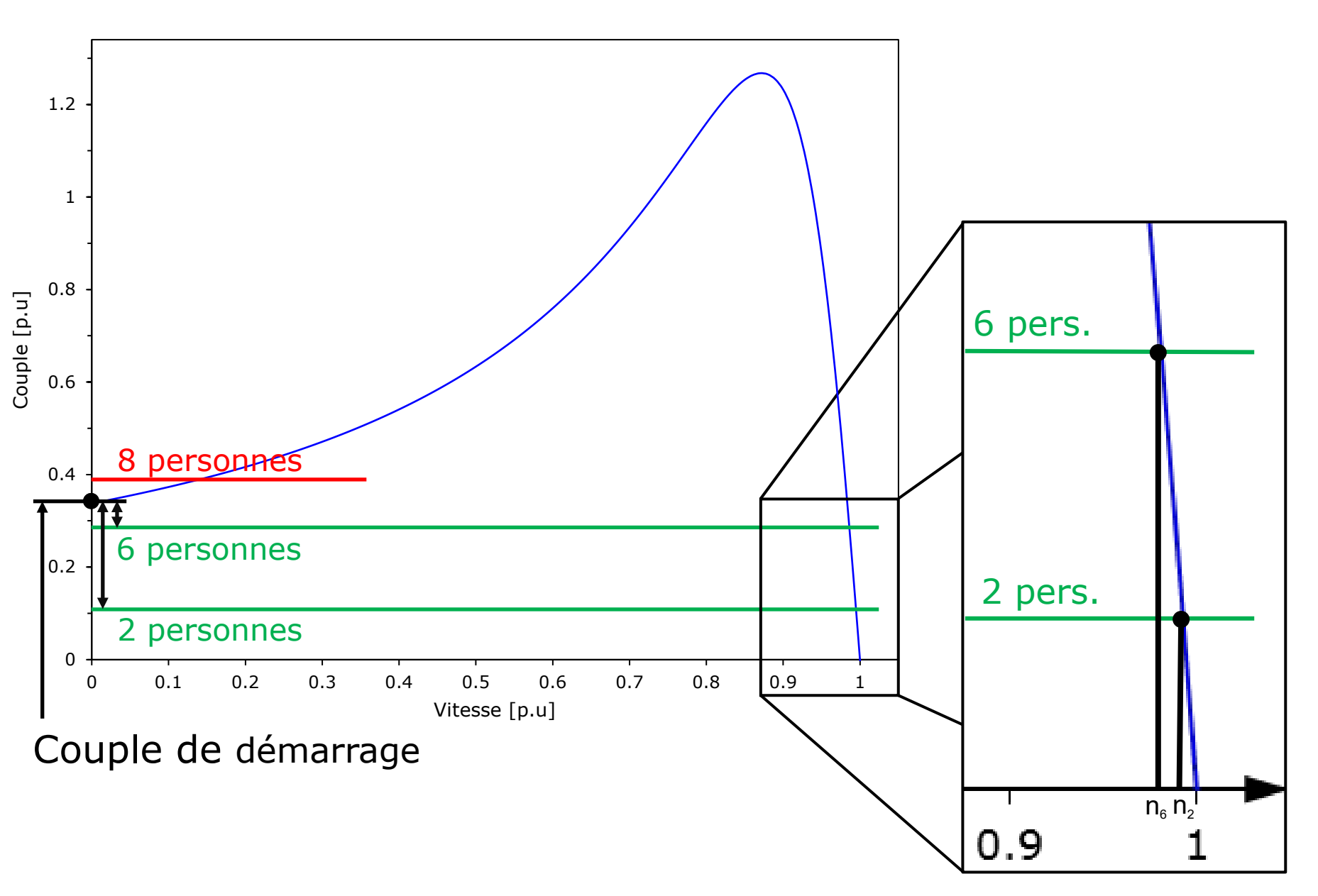
$$\underline{Z}_{e} = j X_{h} \frac{R_{s} + j X_{\sigma s}}{R_{s} + j (X_{\sigma s} + X_{h})} = R_{e} + j X_{e}$$

$$T_{em} = \frac{P_{\delta}}{\Omega_{s}} = \frac{P_{jr}}{S\Omega_{s}} = \frac{3 U_{e}^{2} \frac{R_{r}'}{S}}{\Omega_{s} \left[ \left( R_{e} + \frac{R_{r}'}{S} \right)^{2} + \left( X_{e} + X_{\sigma r}' \right)^{2} \right]}$$

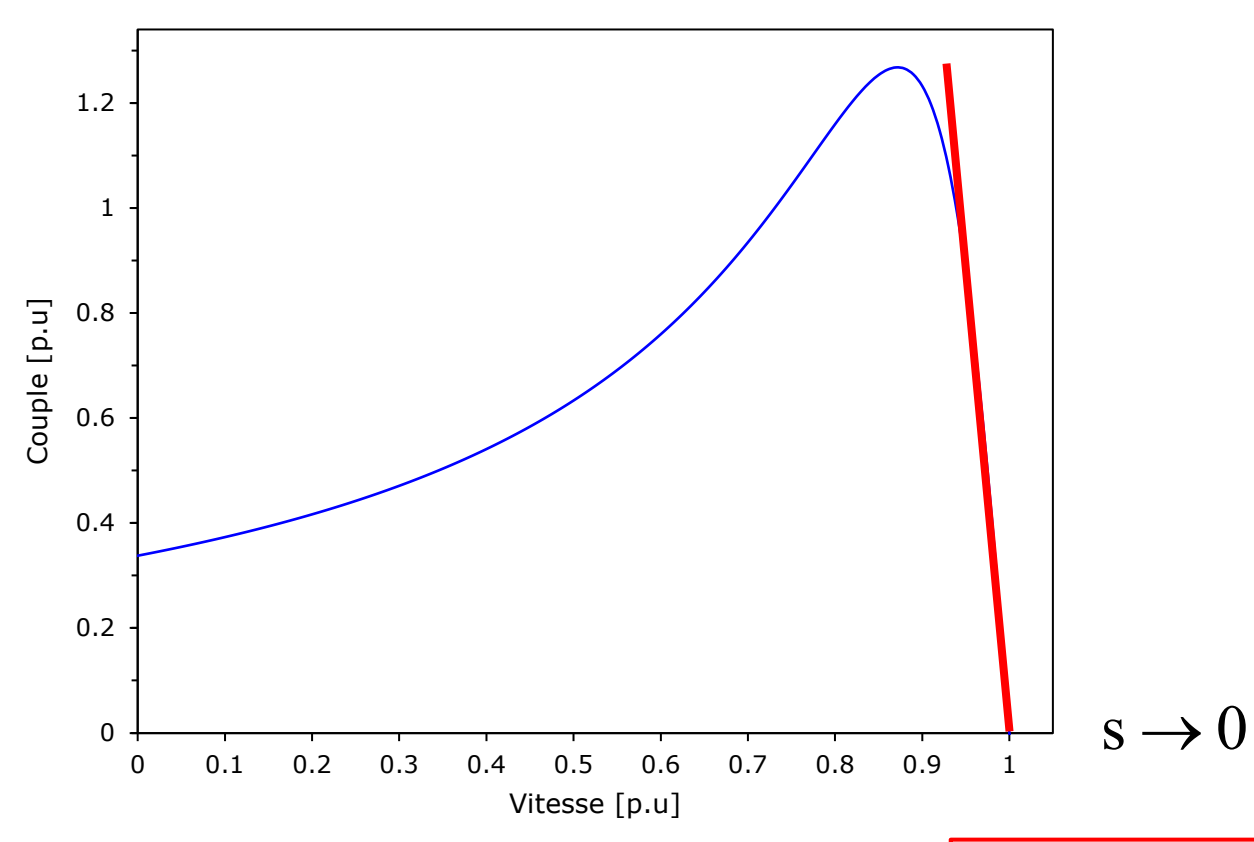
### Caractéristique de couple



### Caractéristique de couple



$$T_{em} = \frac{3 U_{e}^{2} \frac{R_{r}'}{s}}{\Omega_{s} \left[ \left( R_{e} + \frac{R_{r}'}{s} \right)^{2} + \left( X_{e} + X_{\sigma r}' \right)^{2} \right]}$$



$$T_{em} \cong \frac{3 U_e^2}{\Omega_s} \frac{s}{R_r'}$$

### Couple et glissement critiques

$$T_{em} = \frac{3 U_{e}^{2} \frac{R_{r}'}{s}}{\Omega_{s} \left[ \left( R_{e} + \frac{R_{r}'}{s} \right)^{2} + \left( X_{e} + X_{\sigma r}' \right)^{2} \right]}$$

$$\frac{dT_{em}}{ds} = \frac{3U_e^2 R_r'}{\Omega_s} \frac{R_r'^2 - s^2 \left(R_e^2 + \left(X_e + X_{\sigma r}'\right)^2\right)}{\left(s^2 \left(R_e^2 + \left(X_e + X_{\sigma r}'\right)^2\right) + 2R_e R_r' s + R_r'^2\right)^2}$$

$$\frac{dT_{em}}{ds} = 0$$

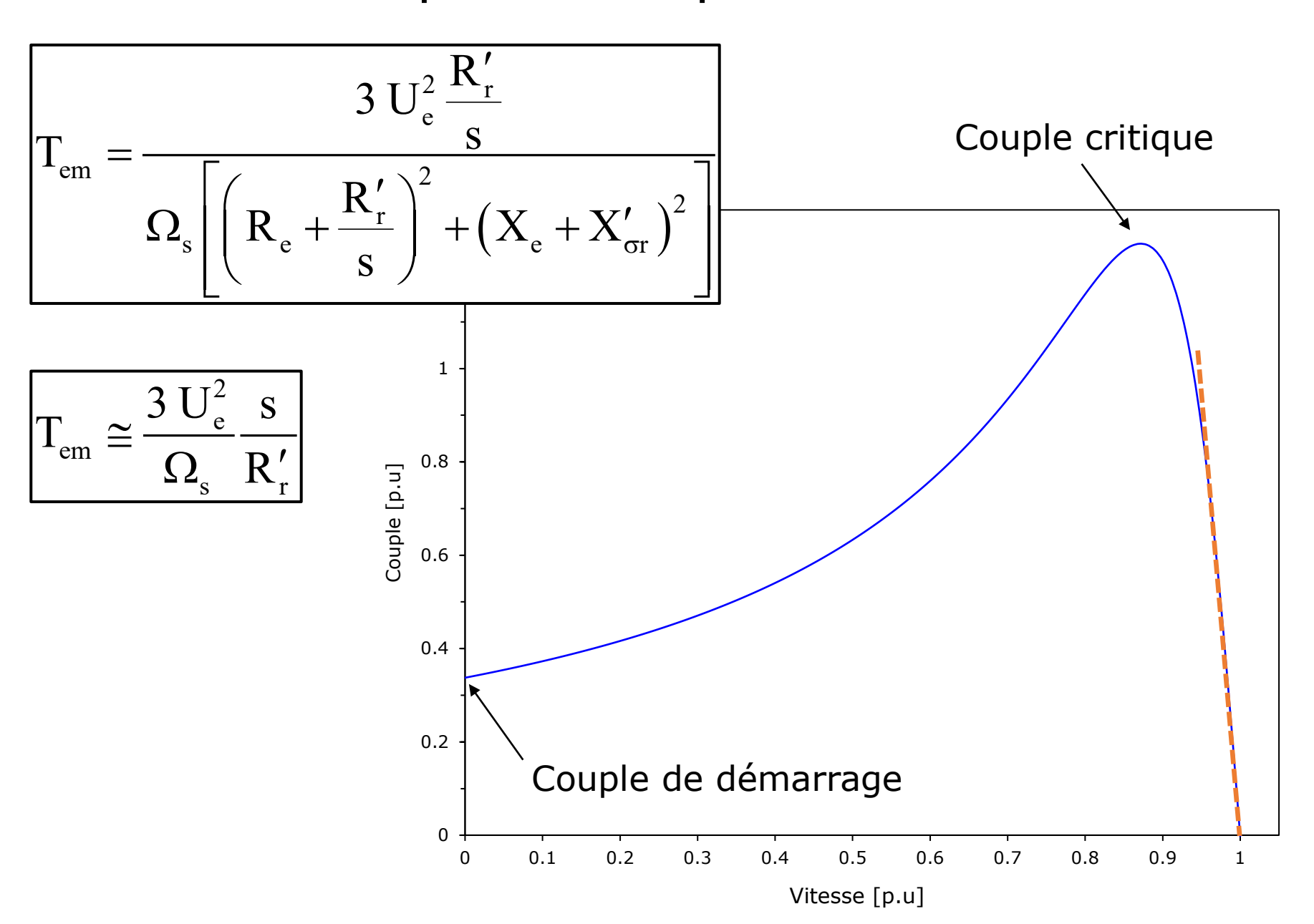
$$s_{k} = \frac{R'_{r}}{\sqrt{R_{e}^{2} + (X_{e} + X'_{\sigma r})^{2}}}$$

$$T_{k} = \frac{3U_{e}^{2}}{2\Omega_{s} \left[R_{e} + \sqrt{R_{e}^{2} + (X_{e} + X_{\sigma r}')^{2}}\right]}$$

Résolution par le théorême d'échange de puissance maximum entre le réseau et la charge représentée par  $R_{\rm r}^\prime/s$ 

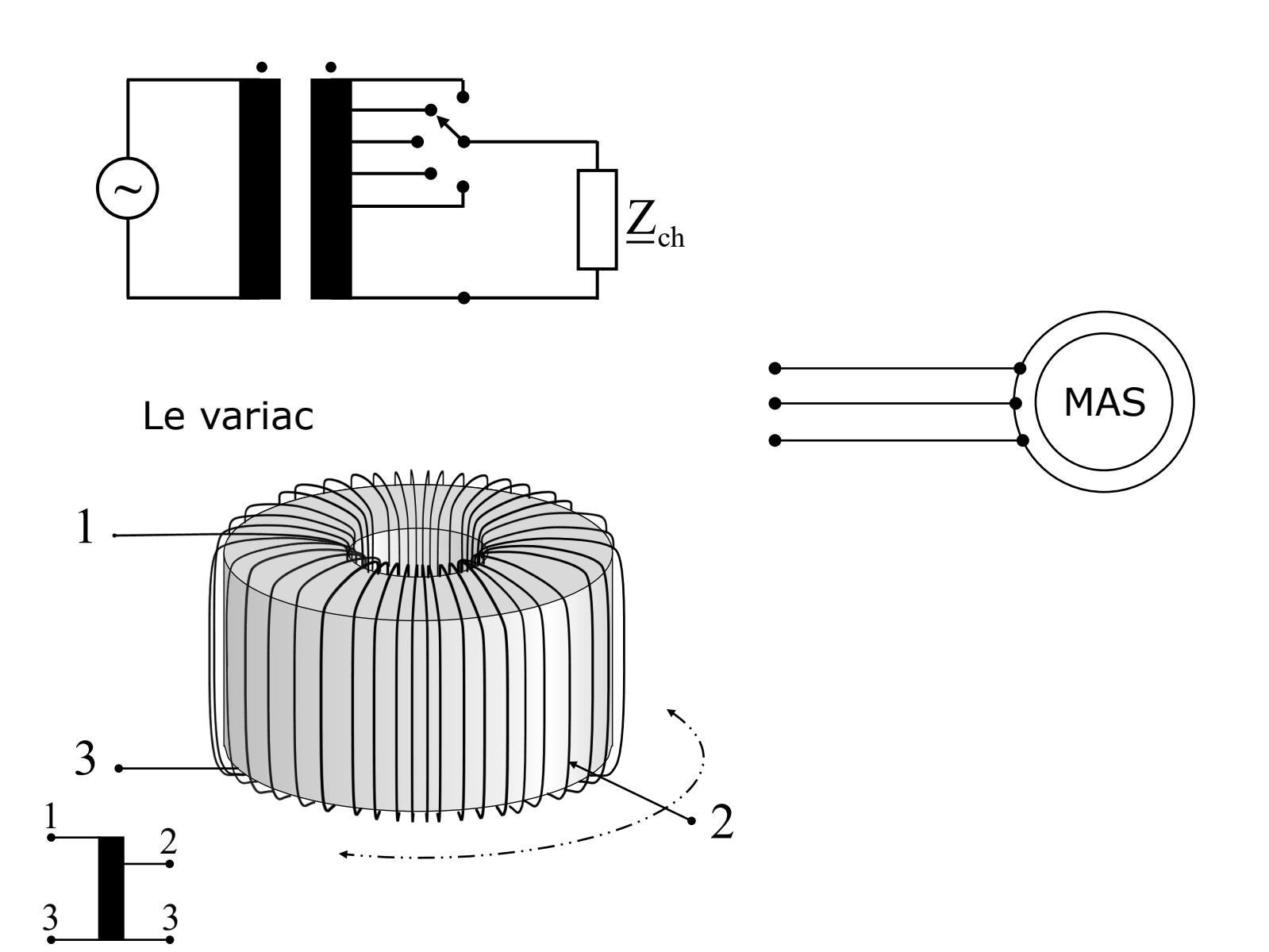
$$\left| \underline{Z}_{e} + jX'_{\sigma r} \right| = \frac{R'_{r}}{S_{k}}$$

### Caractéristique de couple

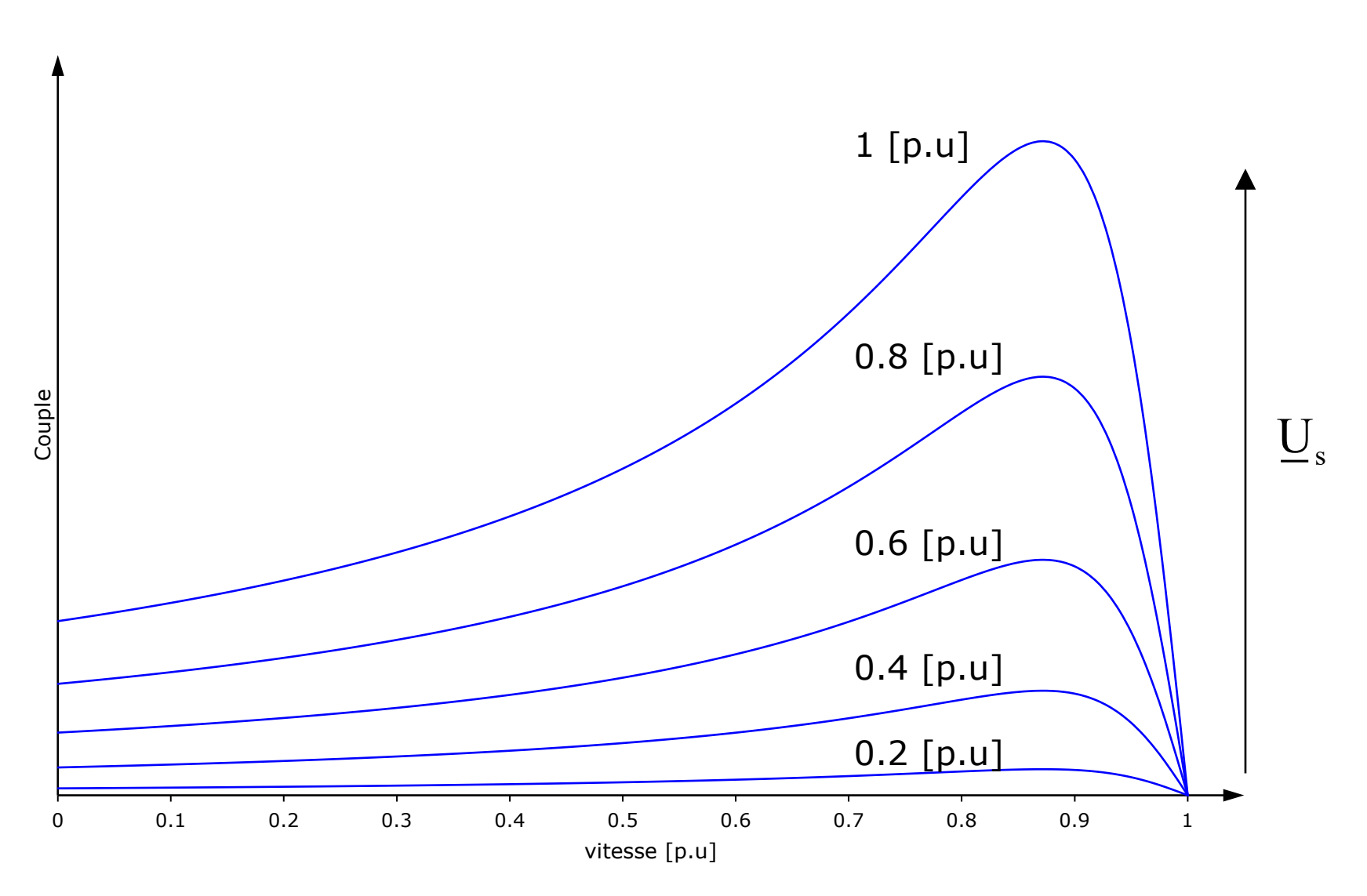


### Alimentation à tension variable

Transformateur à gradins



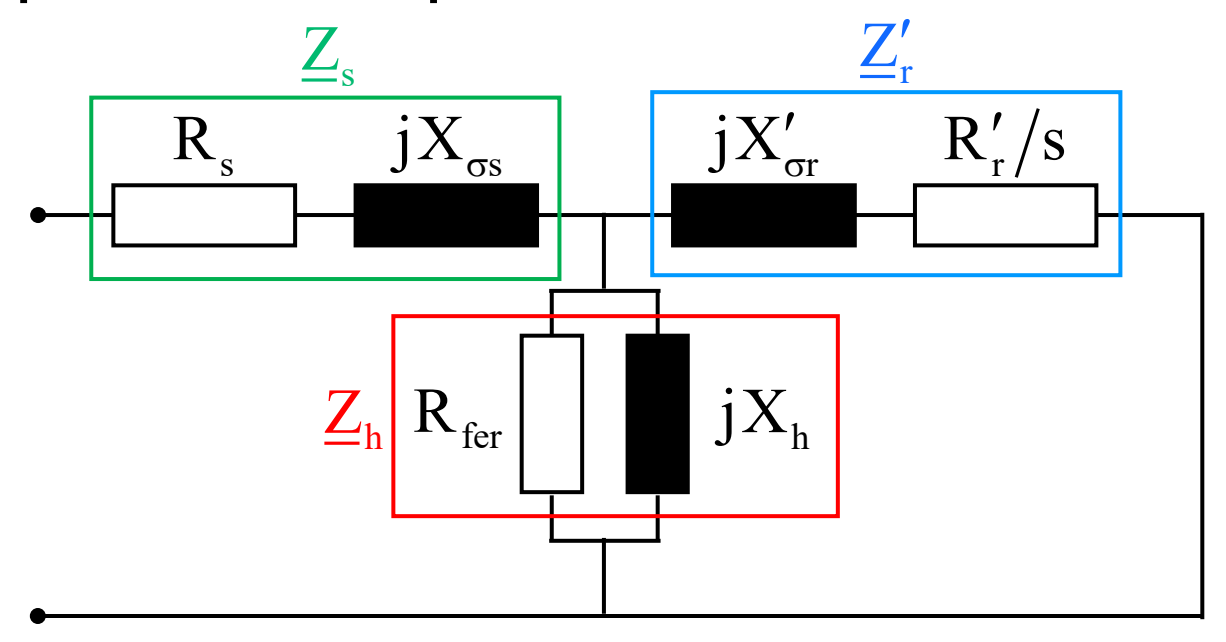
### Alimentation à tension variable



### Sommaire

- Principe de fonctionnement
- Schéma équivalent
- Caractéristique de couple
- Impédance équivalente
- Démarrage des moteurs à cage
- Alimentation à tension et fréquence variables
- Modes de fonctionnement et bilan de puissance

### Impédance équivalente



$$\underline{Z}_{eq} = \underline{Z}_{s} + \frac{\underline{Z}_{h} \, \underline{Z}'_{r}}{\underline{Z}_{h} + \underline{Z}'_{r}}$$

$$\underline{Z}_{s} = R_{s} + jX_{\sigma s}$$

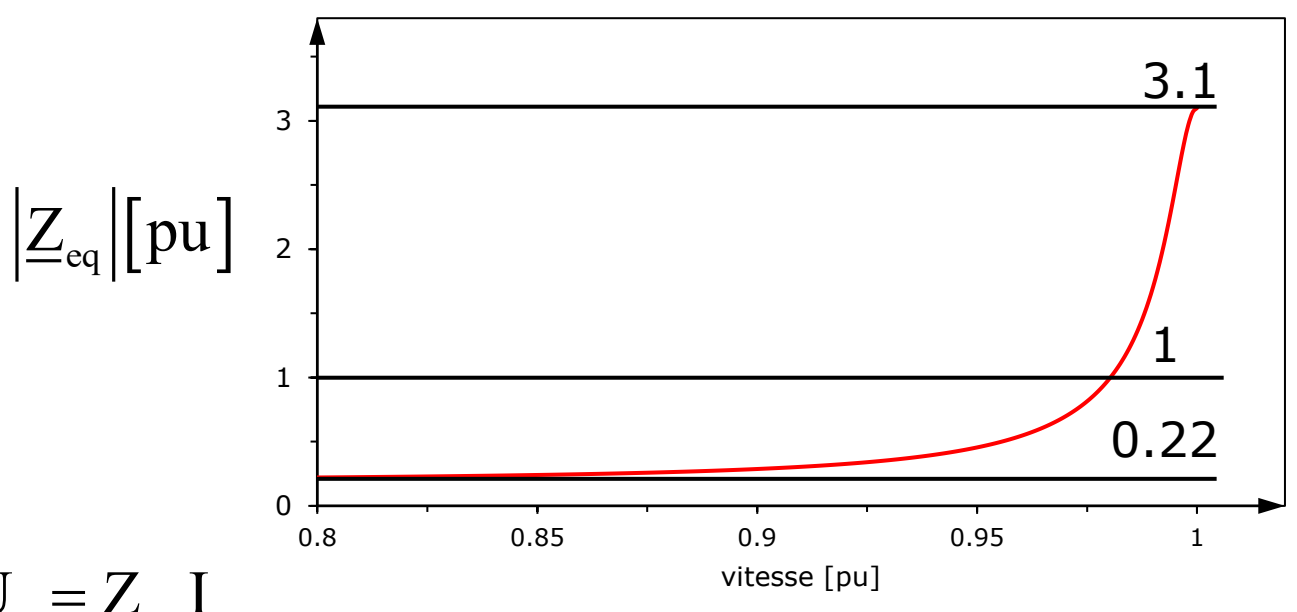
$$\underline{\mathbf{Z}'_{r}} = \frac{R'_{r}}{s} + jX'_{\sigma r}$$

$$\frac{\mathbf{Z}_{\mathbf{r}}'}{\mathbf{S}} = \frac{\mathbf{T}_{\mathbf{r}}}{\mathbf{S}} + \mathbf{j} \mathbf{X}_{\mathbf{\sigma}\mathbf{r}}'$$

$$\underline{Z}_h = jX_h \longrightarrow R_{fer} \gg X_h$$

$$\underline{Z}_{eq} = R_s + jX_{\sigma s} + \frac{jX_h \left(\frac{R_r}{s} + jX'_{\sigma r}\right)}{jX_h + \left(\frac{R'_r}{s} + jX'_{\sigma r}\right)}$$

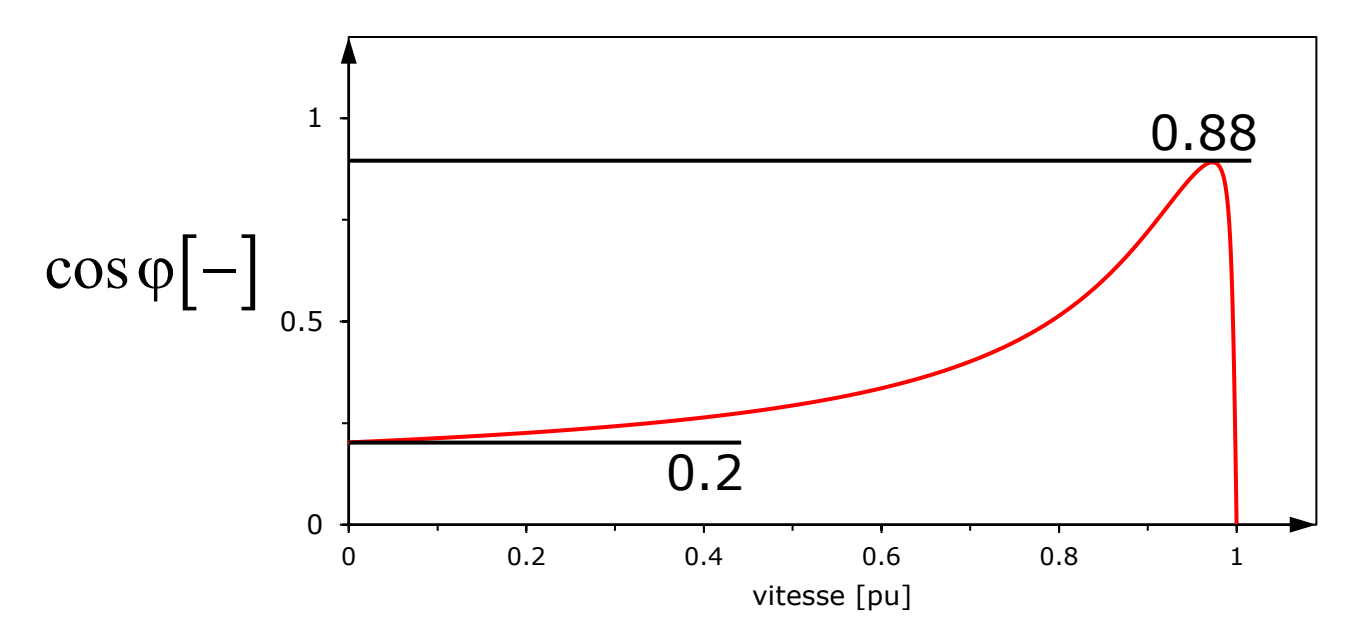
### Impédance équivalente en fonction du glissement



$$\frac{1}{0.22} \cong 4.5$$

$$\frac{1}{3.1} \cong 0.33$$

$$\underline{U}_s = \underline{Z}_{eq}\underline{I}_s$$

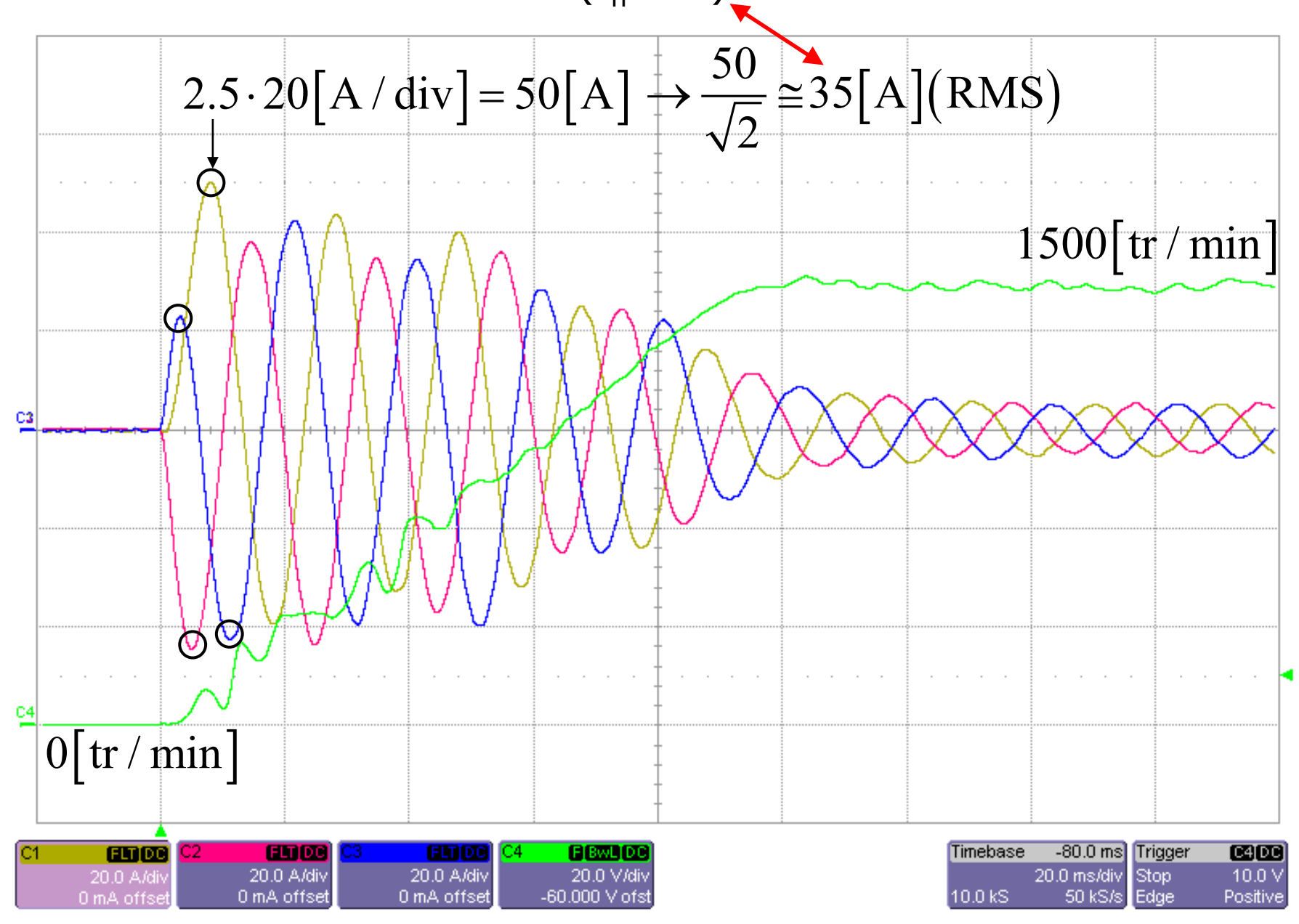


consomme du réactif!

### Sommaire

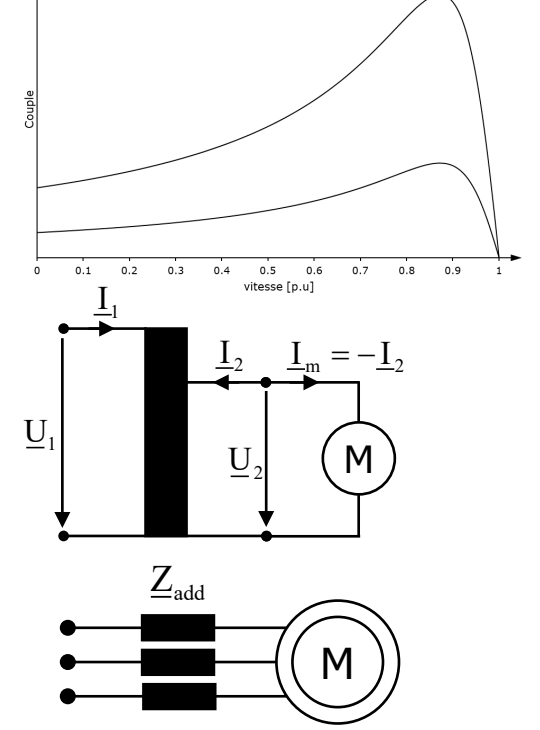
- Principe de fonctionnement
- Schéma équivalent
- Caractéristique de couple
- Impédance équivalente
- Démarrage des moteurs à cage
- Alimentation à tension et fréquence variables
- Modes de fonctionnement et bilan de puissance

## Démarrage d'un moteur asynchrone 2.2 kW $(I_n=5A)$



Différentes techniques existent pour réduire le courant au démarrage (in rush current)

- Démarrage étoile-triangle
  - Un moteur prévu pour fonctionner en triangle est cablé en étoile lors du démarrage.
- Démarrage par autotransformateur
  - Un transformateur abaisseur de tension est inséré entre le réseau et le moteur.
- Démarrage par impédance additionnelle
  - Une résistance ou une inductance est ajoutée en série avec le stator.



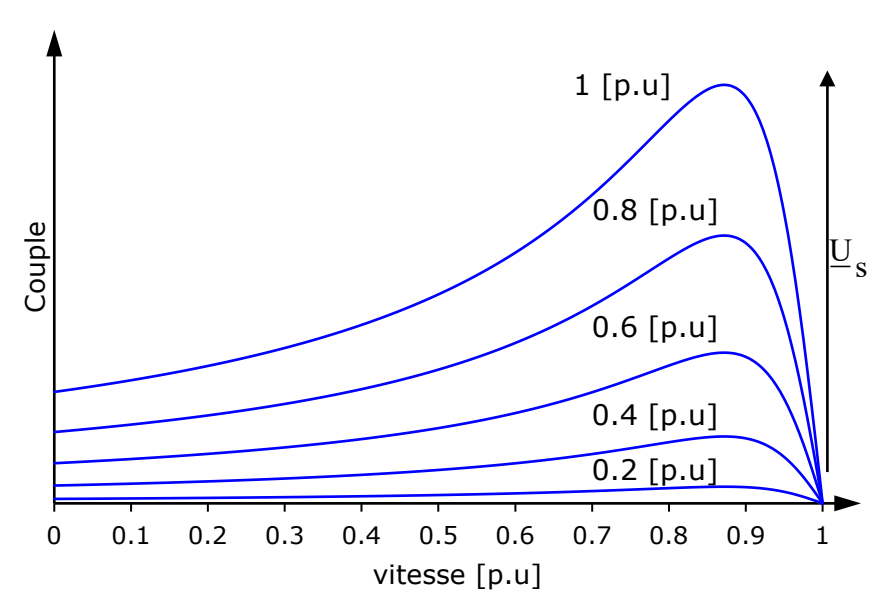
- Soft starter
  - Utilisation d'un convertisseur de puissance possédant des triacs. Contrôle du courant (limitation du courant).

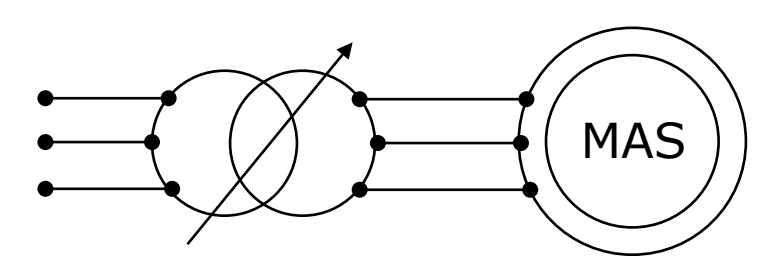


### Sommaire

- Principe de fonctionnement
- Schéma équivalent
- Caractéristique de couple
- Impédance équivalente
- Démarrage des moteurs à cage
- Alimentation à tension et fréquence variables
- Modes de fonctionnement et bilan de puissance

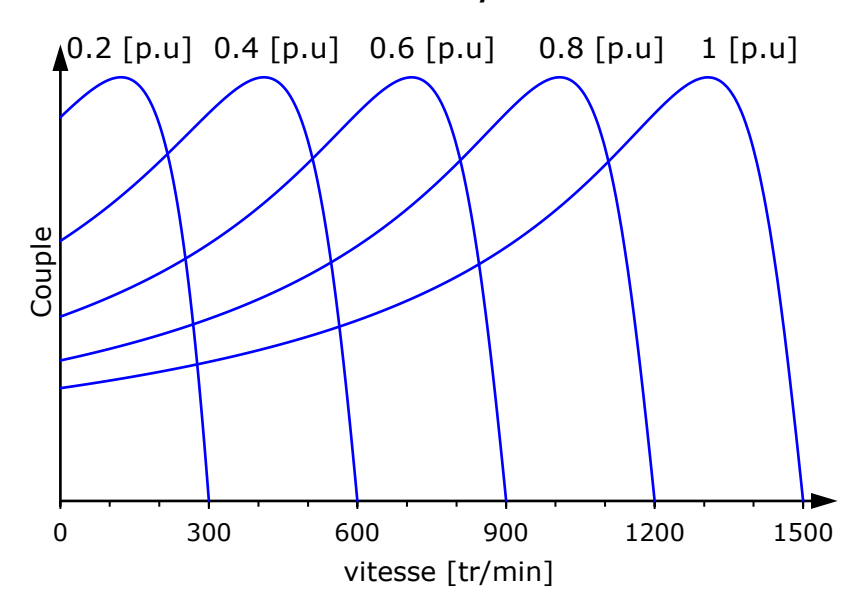
#### Alimentation à tension variable

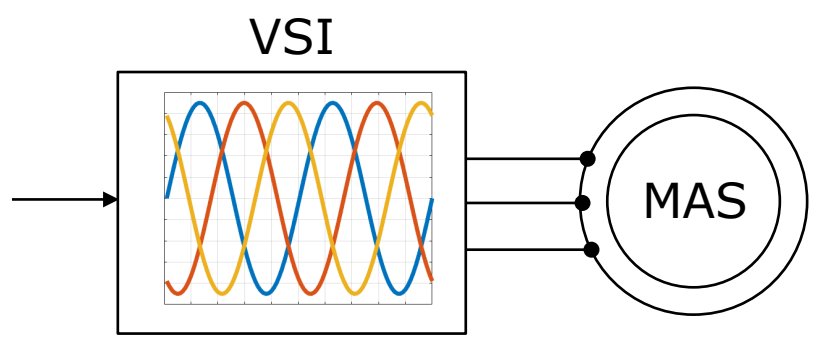




Permet de faire varier Us en amplitude

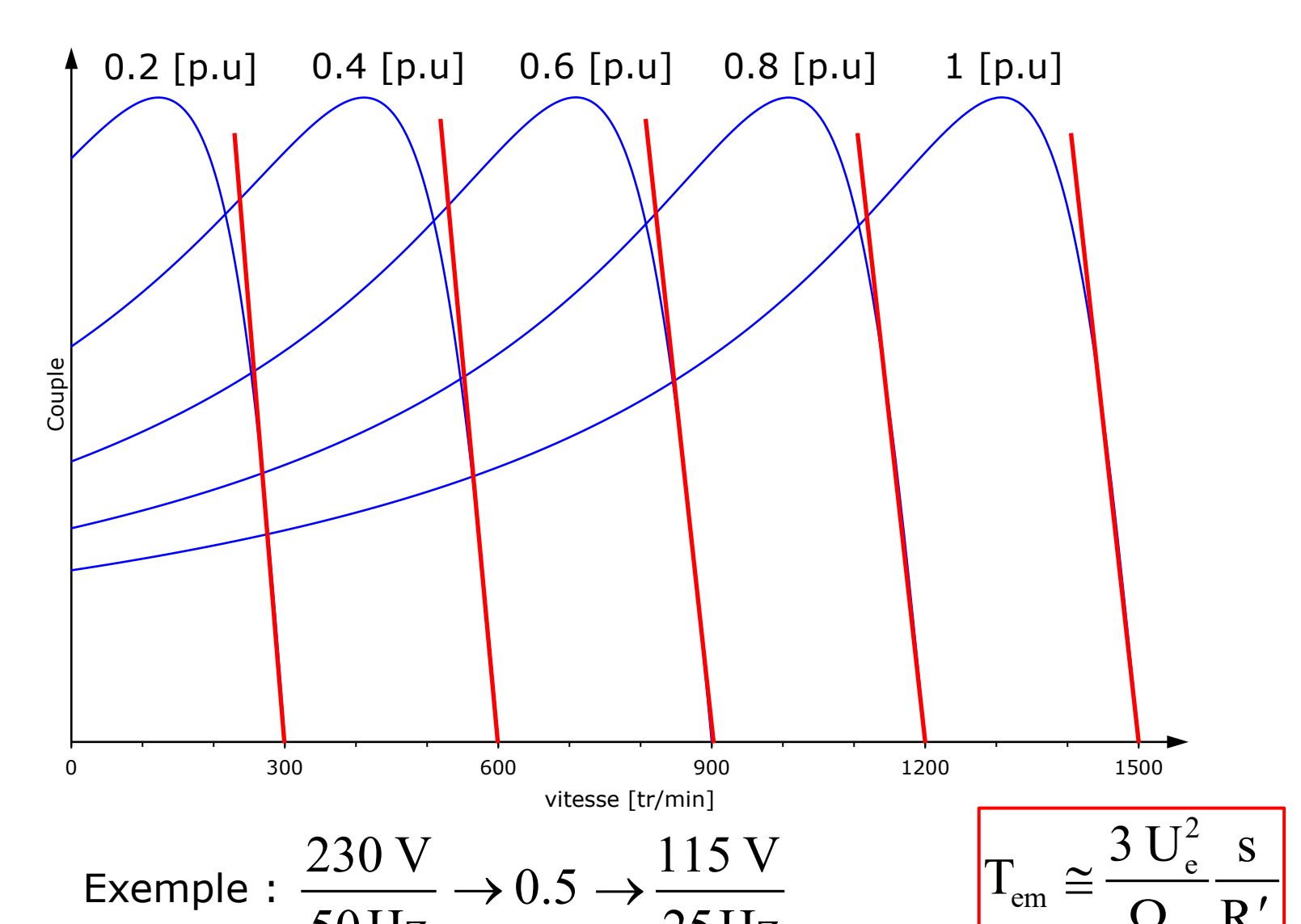
#### Alimentation à U/f constant



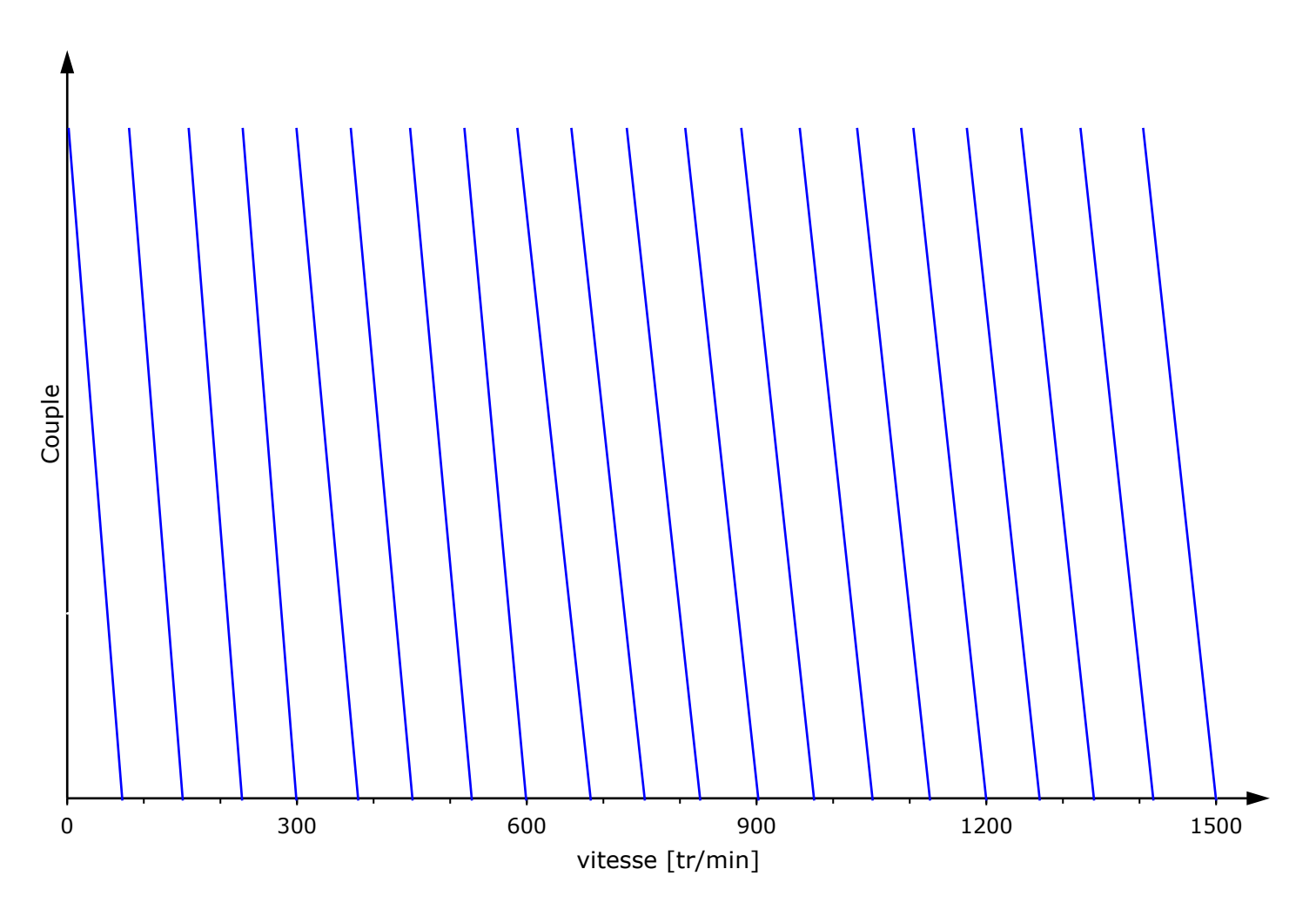


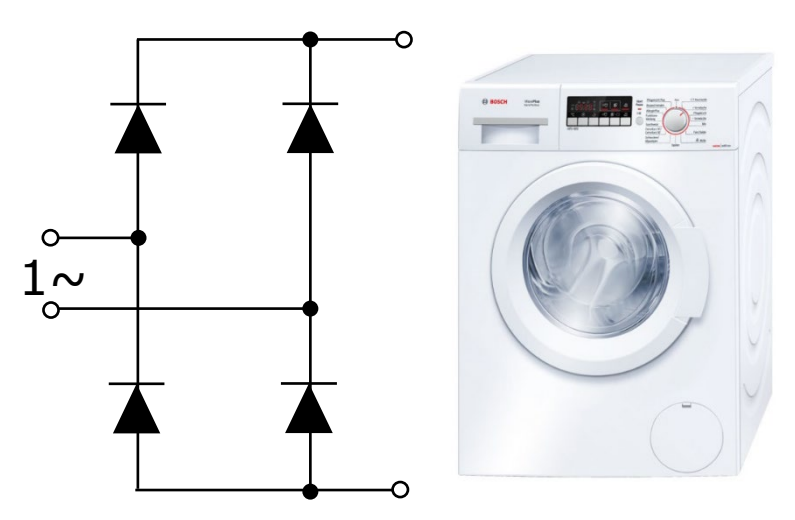
Permet de génèrer un système triphasé (Us) variable en amplitude et en fréquence

Alimentation à U/f constant

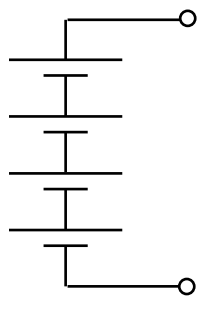


Alimentation à U/f constant



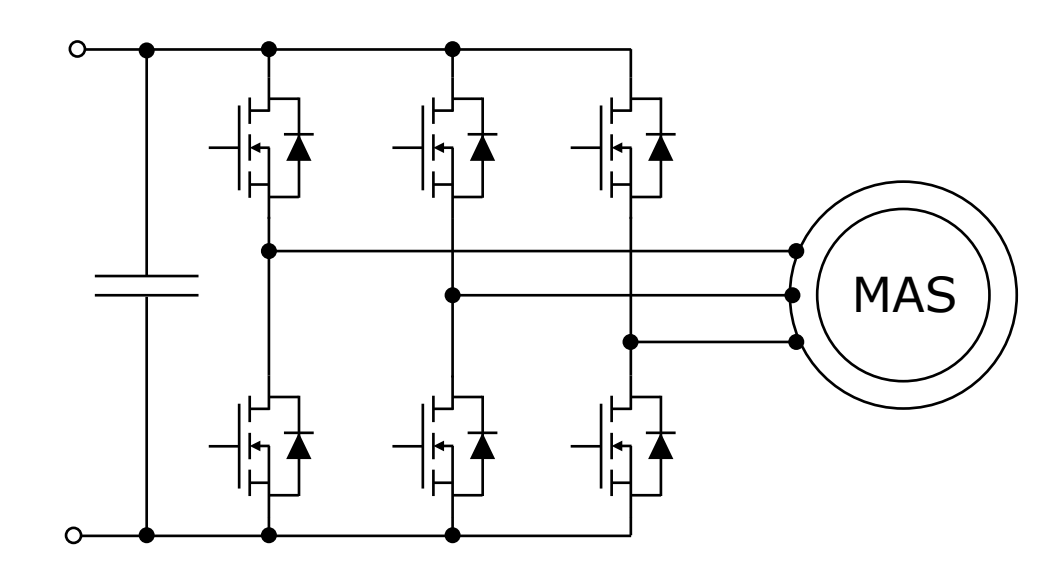


- Redresseur à diodes
- Pont de diodes



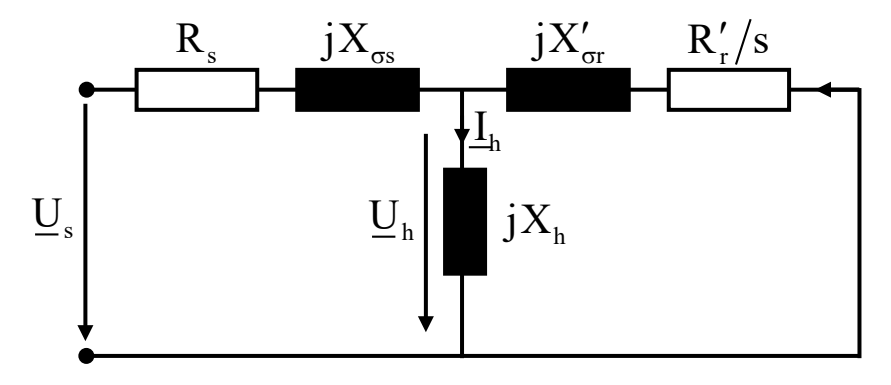


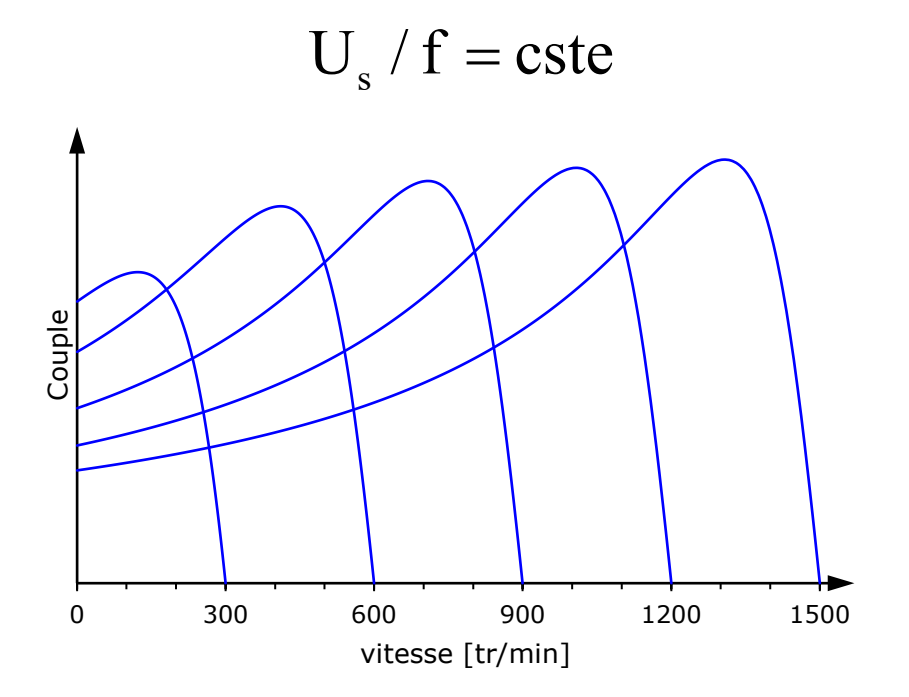


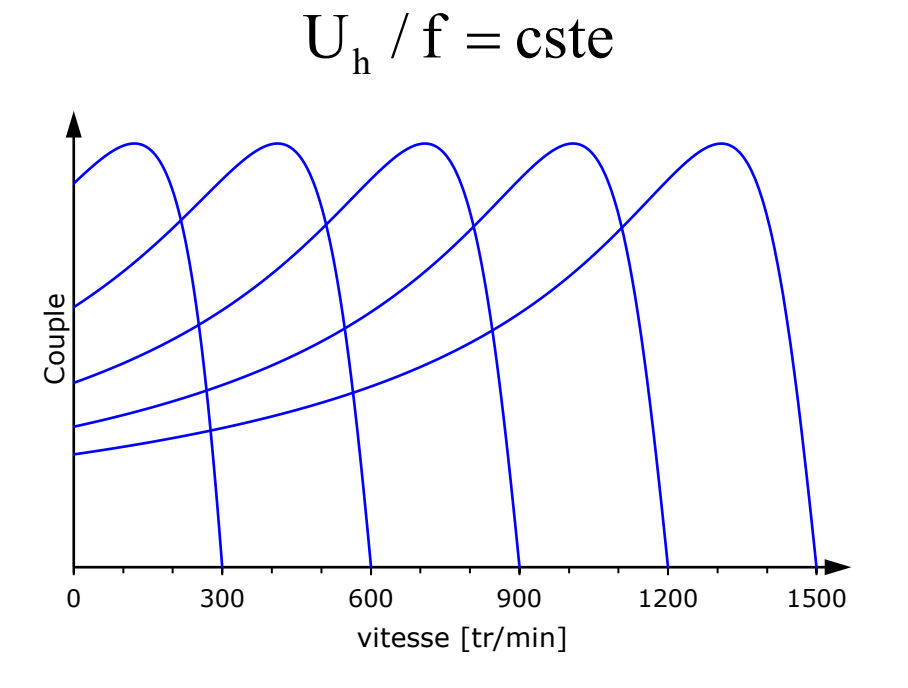


- VSI (Voltage Source Inverter)
- Onduleur
- Convertisseur de tension
- Pont à 6 transistors

$$\Psi_{h} = L_{h} I_{h} = \frac{X_{h}}{2\pi f} I_{h} = \frac{U_{h}}{2\pi f}$$





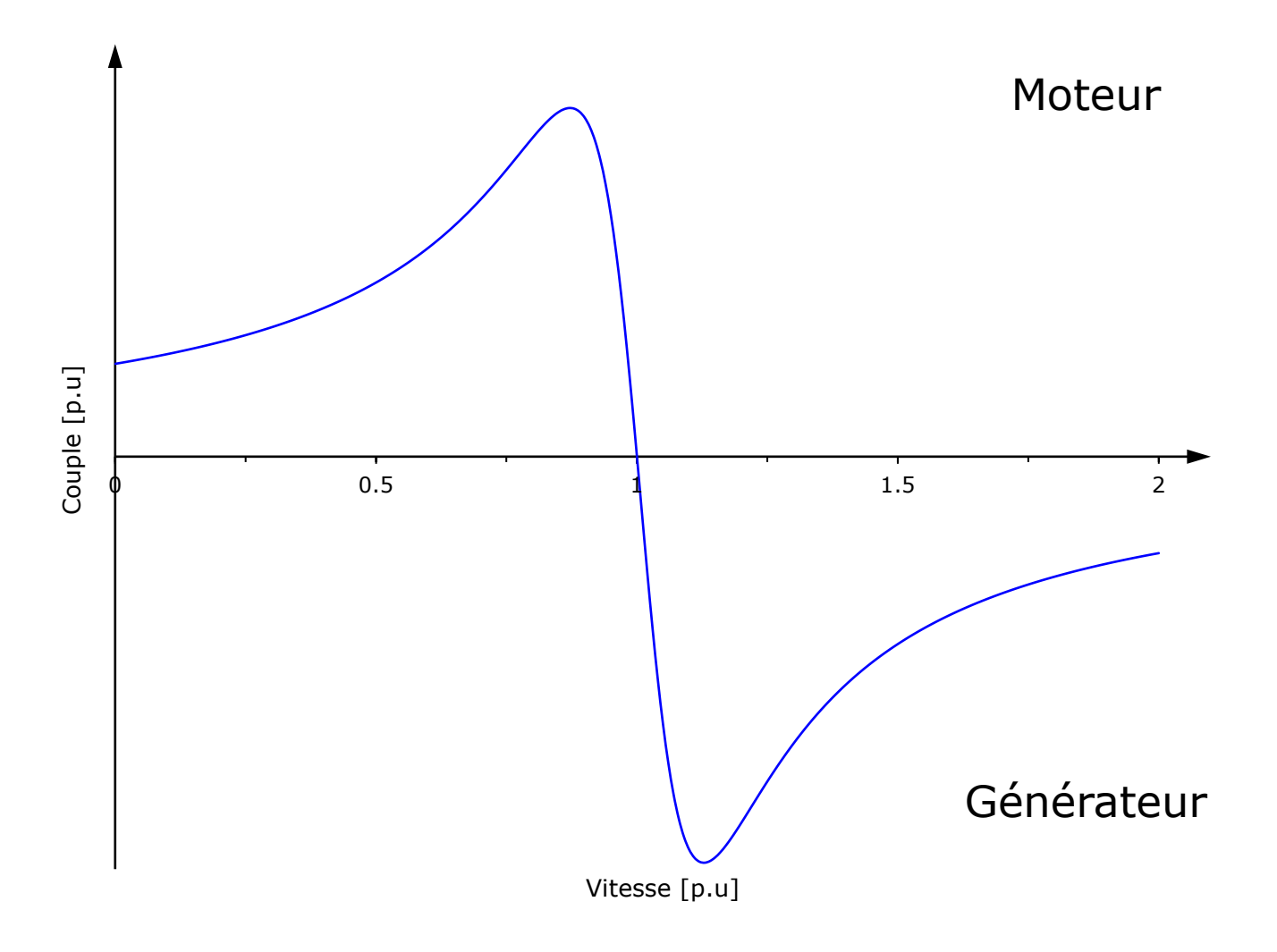


https://www.youtube.com/watch?v= ZztDN5XX5o

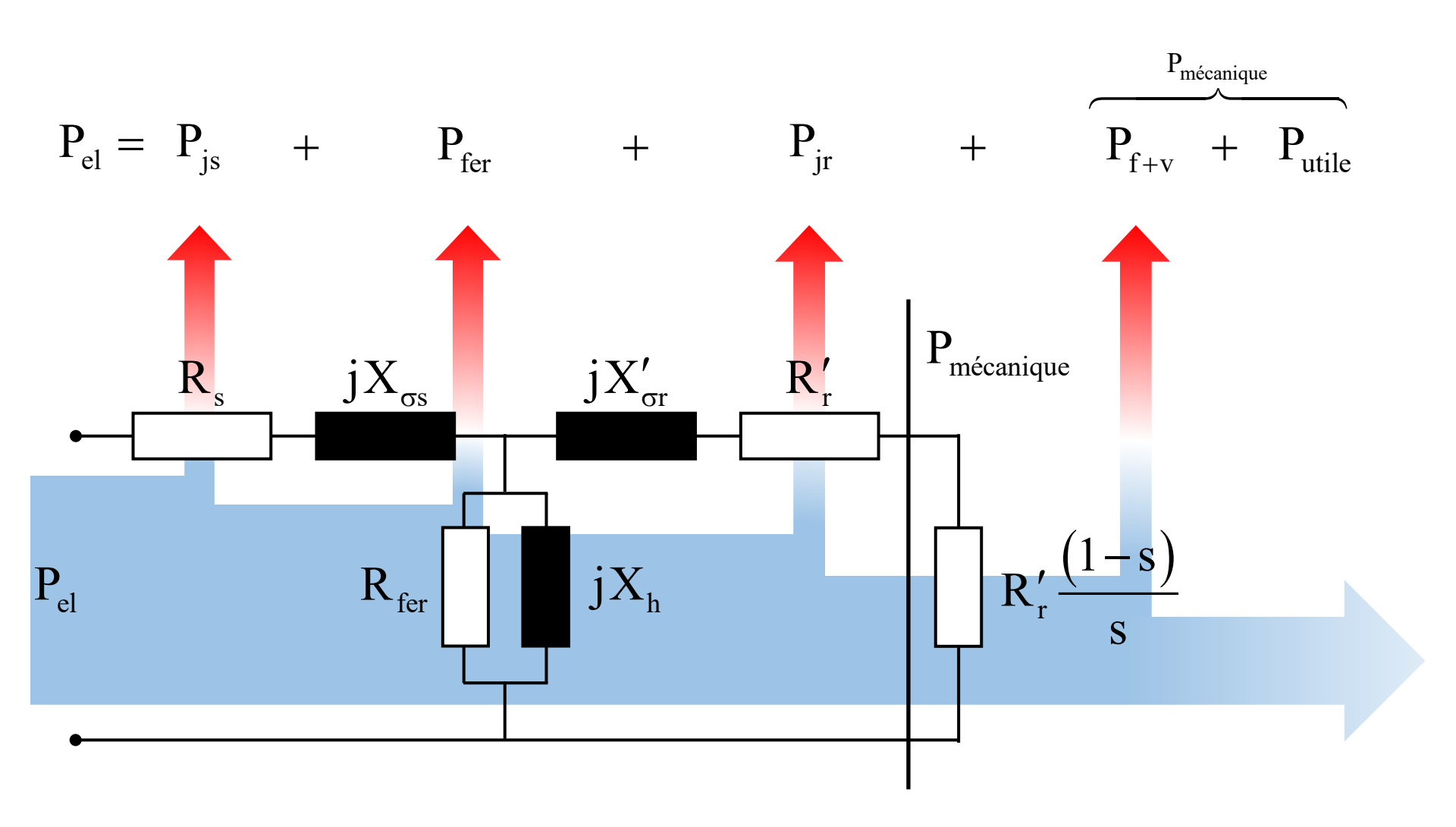
### Sommaire

- Principe de fonctionnement
- Schéma équivalent
- Caractéristique de couple
- Impédance équivalente
- Démarrage des moteurs à cage
- Alimentation à tension et fréquence variables
- Modes de fonctionnement et bilan de puissance

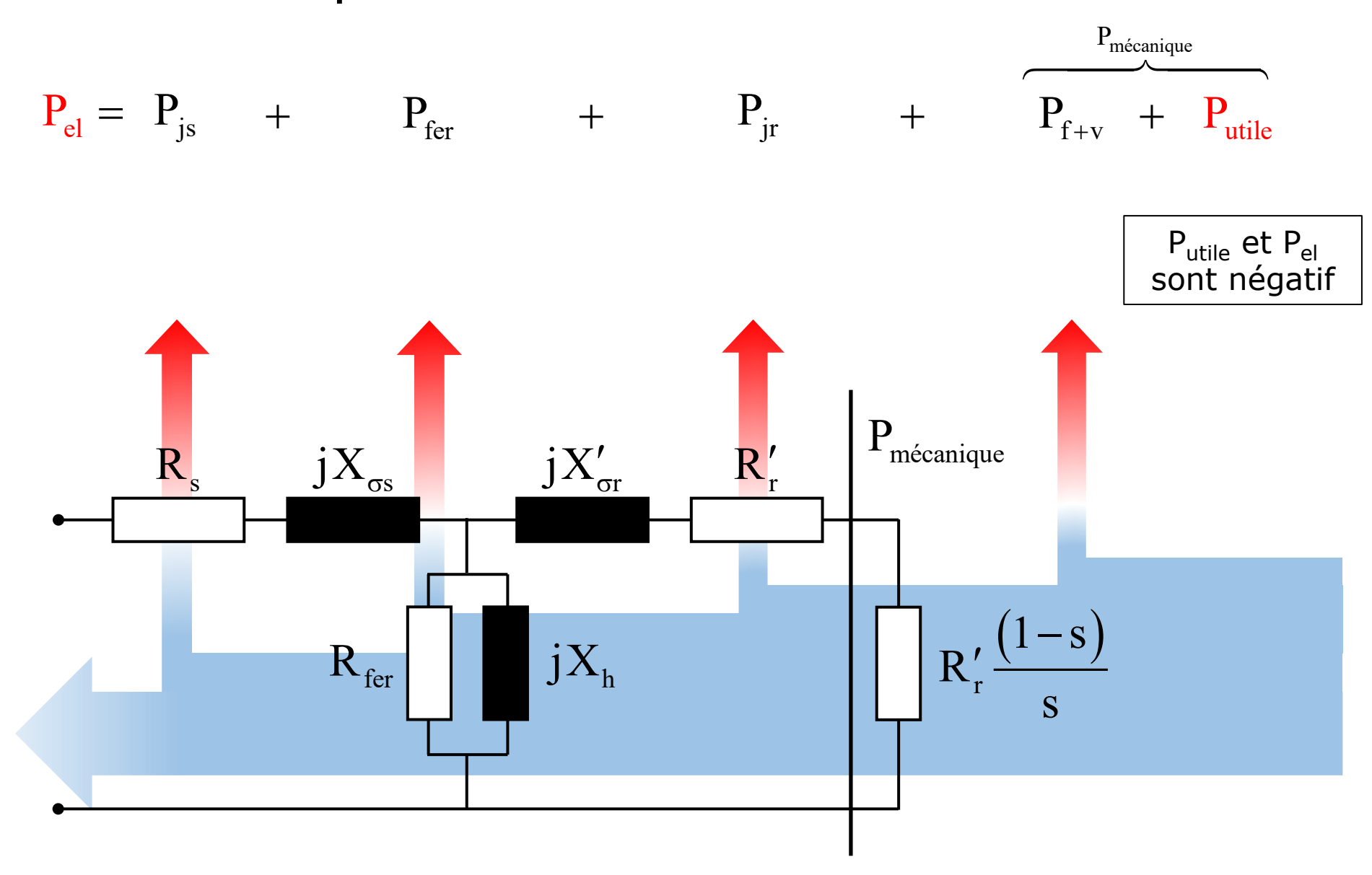
# Caractéristique de couple et modes de fonctionnement



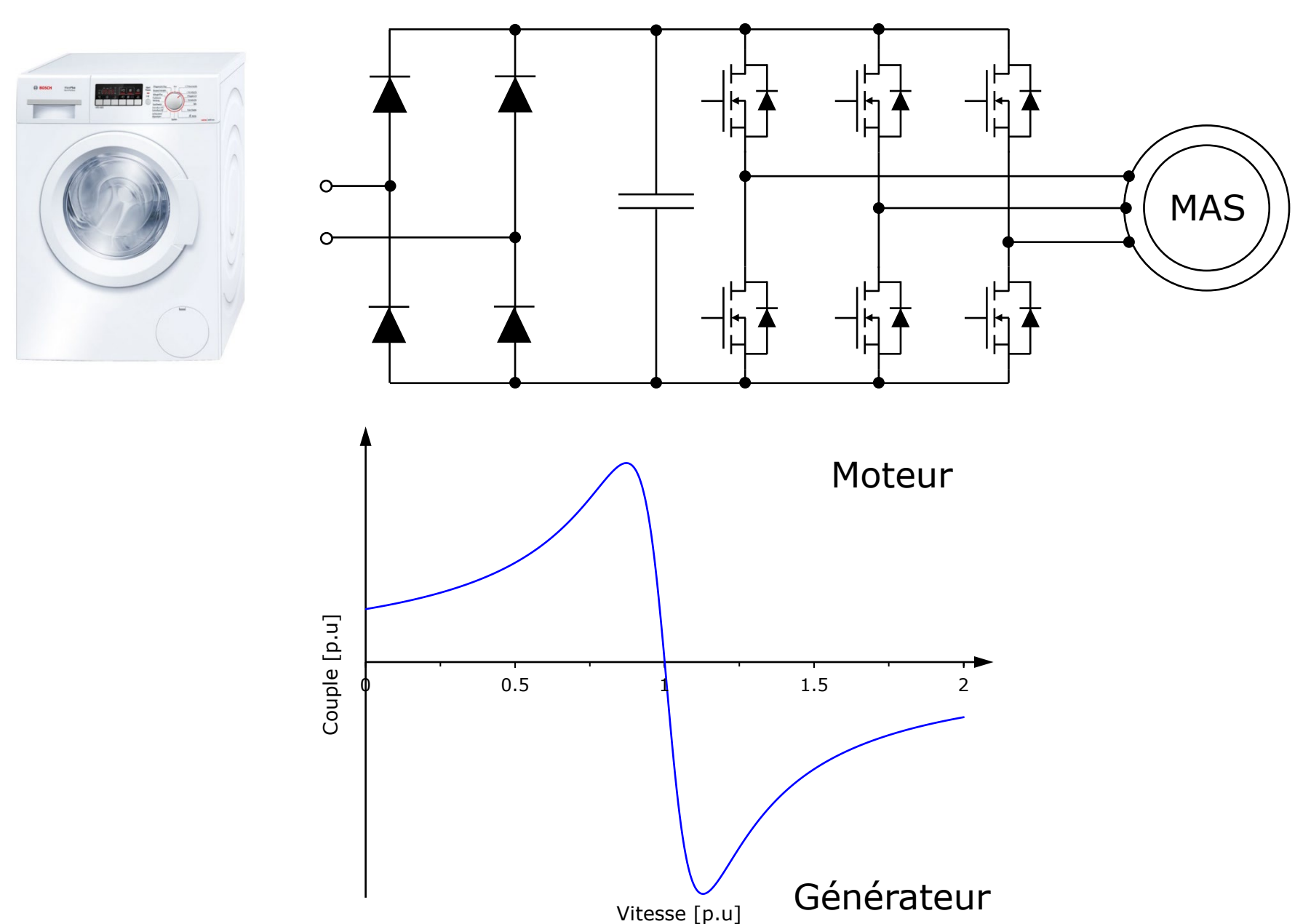
### Bilan de puissance - Moteur



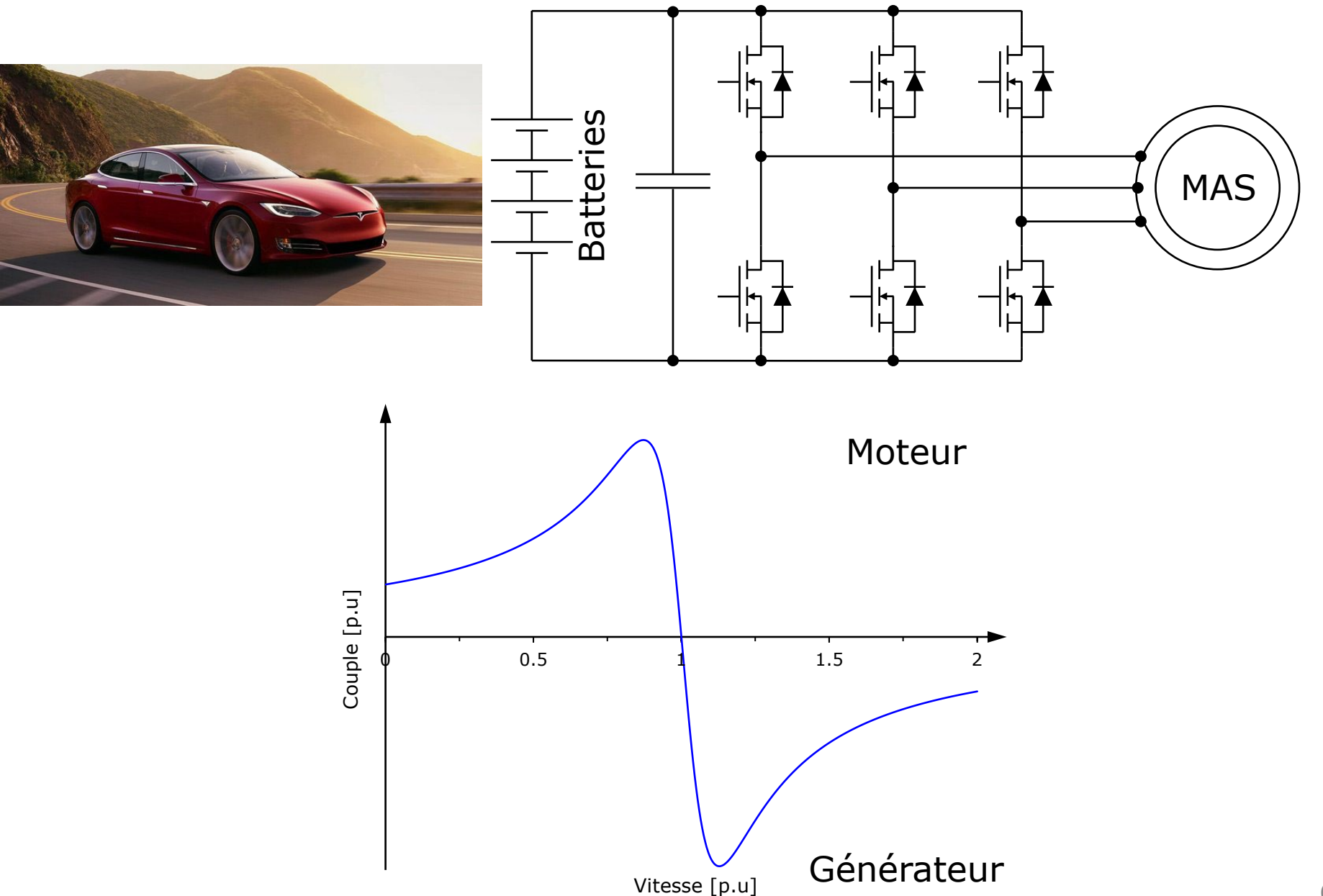
### Bilan de puissance - Génératrice



#### Considération sur les modes de fonctionnement I



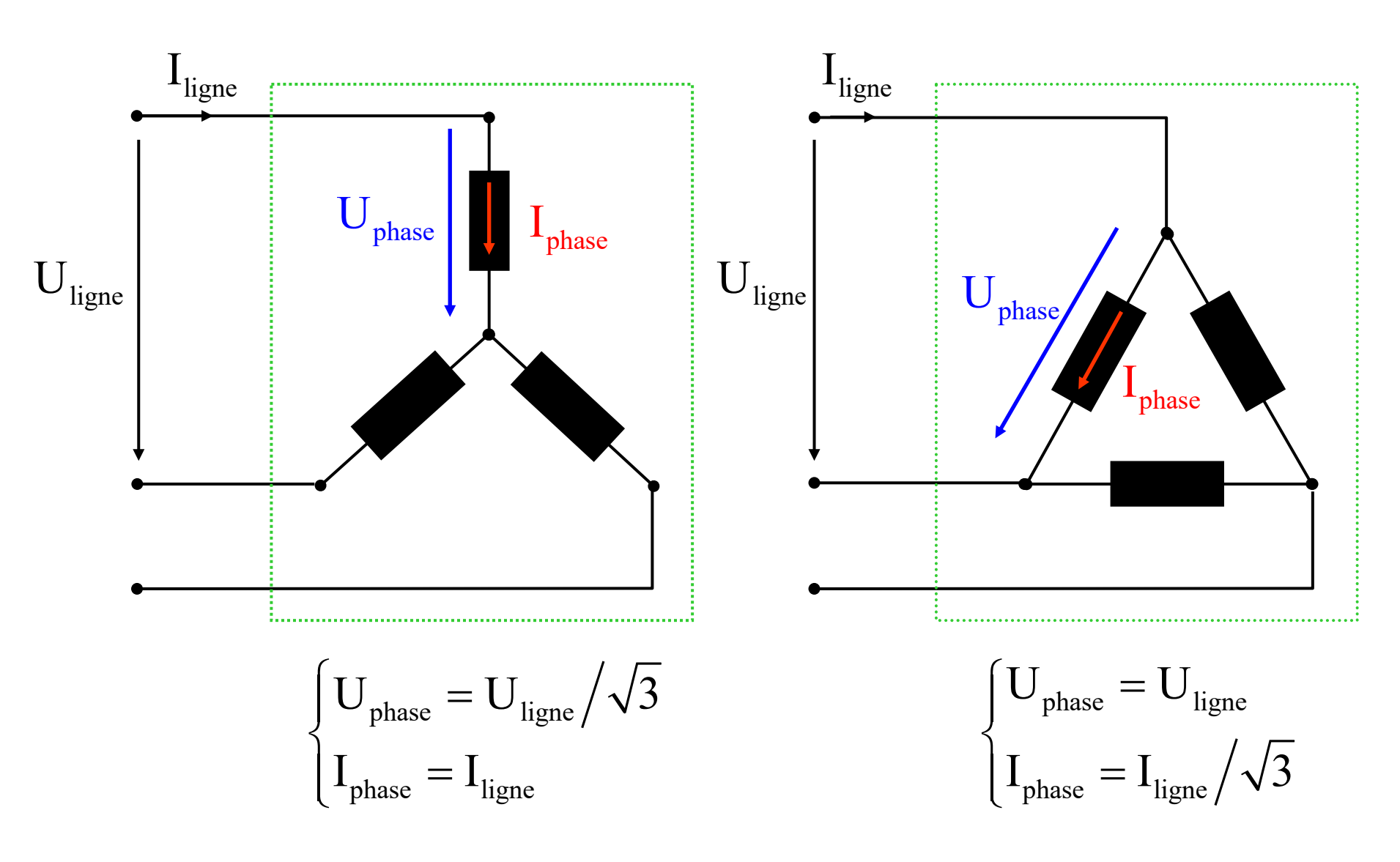
#### Considération sur les modes de fonctionnement II



### Sommaire

- Principe de fonctionnement
- Schéma équivalent
- Caractéristique de couple
- Impédance équivalente
- Démarrage des moteurs à cage
- Alimentation à tension et fréquence variables
- Modes de fonctionnement et bilan de puissance
- · Complément sur le montage étoile et triangle

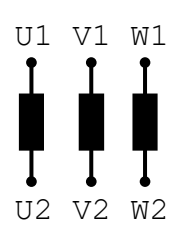
### Rappel sur les couplages étoile-triangle



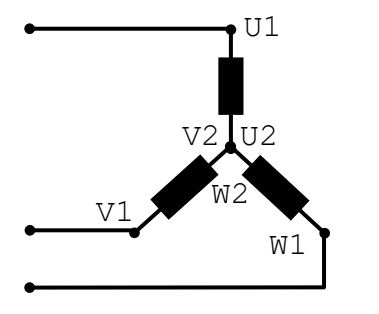
## Explication de l'étoile-triangle



#### MentaliteIngenieur.com



Etoile



Triangle

